

**Stanisław Kosowski**

**EFEKTYWNE OKREŚLENIE  
PARAMETRÓW DYSYPACYJNYCH  
GAZU RELATYWISTYCZNEGO  
W RAMACH TEORII KINETYCZNEJ**

12/1967

WARSZAWA

Efektywne określenie parametrów dysypacyjnych  
gazu relatywistycznego  
w ramach teorii kinetycznej

Stanisław Kosowski

Wstęp

W rozwoju gazodynamiki relatywistycznej zainteresowane są głównie takie dziedziny nauki jak fizyka jądrowa, fizyka plazmy i astrofizyka. Pierwsze kroki w teorii ośrodka relatywistycznego dokonane zostały w termodynamice i hydrodynamice cieczy idealnej. Trudności w sformułowaniu termodynamiki relatywistycznej związane były z brakiem równań, w których czas, obok współrzędnych przestrzennych, występowałby w charakterze równouprawnionej współrzędnej. Zasadniczy postęp w tym kierunku przyniosła praca Eckarta [8], która oprócz ogólnego sformułowania termodynamiki procesów nieodwracalnych w ramach fizyki klasycznej zawierała również jej uogólnienie w formalizmie szczególnej teorii względności. Zaskakującym rezultatem pracy było odkrycie nowego efektu - przyspieszanie materii powoduje dodatkowy przepływ ciepła.

Rozwinięciem pracy Eckarta były obszerne prace Kluitenberga, De Groota, Mazura [10, 11, 12]. Pokazali oni m.in. że relacje Onsagera są niezmiennicze wobec transformacji Lorentza, zaś produkt entropii można zapisać w formie analogicznej do klasycznej. Oprócz wspomnianego podejścia fenomenologicznego rozwijane były równoległe i kinetyczne metody analizy ośrodka relatywistycznego. Najbardziej istotny wkład

w rozwój teorii statystycznej wniósł Synge [20], znalazł on relatywistycznie niezmienniczą funkcję rozkładu cząstek w przestrzeni fazowej dla stanu równowagi termodynamicznej /analog rozkładu Maxwella-Boltzmana/.

Dla rozwoju teorii kinetycznej najważniejszym krokiem było uzyskanie relatywistycznej formy równania Boltzmana [1, 2, 3, 4, 5, 6]. Formalne wyprowadzenie równań gazodynamiki relatywistycznej z uwzględnieniem procesów dyssypacyjnych z równania Boltzmana, podobnie, jak swego czasu, w mechanice klasycznej, było potwierdzeniem relatywistycznej termodynamiki procesów nieodwracalnych [16, 23, 24]. Można było oczekiwać, że w ramach teorii kinetycznej zostaną rozwiązane dalsze istotne problemy dotyczące ośrodka relatywistycznego, w szczególności zaś, zostaną określone parametry dyssypacyjne ośrodka, a więc współczynniki lepkości i przewodnictwa. Jakkolwiek problem ostatni był podejmowany w kilku pracach [16, 23, 24, 19], to niestety w żadnym przypadku nie doczekał się pełnego efektywnego rozwiązania. Należy przypuszczać, że związane to było z trudnościami, jakie w konkretnych obliczeniach kryje w sobie zderzeniowy człon równania Boltzmana. Uzupełnienie tej dość istotnej luki w teorii ośrodka relatywistycznego stało się celem niniejszej pracy. Podjęto w niej próbę określenia parametrów dyssypacyjnych ośrodka przy założeniu możliwie najprostszego modelu oddziaływań cząstek. W charakterze takiego modelu przyjęliśmy założenie o stałości różniczkowego przekroju czynnego rozpraszania cząstek w układzie środka masy<sup>x/</sup>.

W pracy rozważa się gaz elektrycznie obojętny, jedno-  
składnikowy, niezbyt gęsty, bez zewnętrznego pola sił, bez  
kreacji i anihilacji cząstek. Startując z relatywistycznej

<sup>x/</sup>Założenie to jest fizycznie realne i tak np. dla nukleonów w obszarze energii 130 - 400 MeV całkowity przekrój rozpraszania cząstek w układzie środka masy jest w przybliżeniu stały i równy przekrojowi oddziaływań elastycznych / $\sigma \approx 23 \text{mb}$ /. W przypadku klasycznym założenie powyższe odpowiada dokładnie modelowi kul sprężystych.

formy równania Boltzmana i stosując metodę momentów znaleziono równania będące relatywistycznym odpowiednikiem równań Navier-Stokesa oraz określono efektywnie współczynniki lepkości i przewodnictwa cieplnego. Problem rozwiązany jest od początku do końca bez żadnych przybliżeń. Na uwagę zasługuje fakt pojawienia się niezerowego śladu tensora naprężeń lepkich. Jest to efekt czysto relatywistyczny. Zbadano zachowanie graniczne współczynników transportu w obszarze klasycznym i ultrarelatywistycznym. Stwierdzono przy tym zupełną zgodność ze znanymi wynikami dla przypadku klasycznego i z rezultatami uzyskanymi dla przypadku ultrarelatywistycznego na innej drodze.

Składam podziękowanie prof.dr W.Fiszdonowi, promotorowi niniejszej pracy, za umożliwienie mi podjęcia tak interesującego tematu, w kierowanym przez niego Zakładzie, jak również za stworzenie sprzyjających warunków i rzeczowej atmosfery do pracy.

Chciałbym w tym miejscu serdecznie podziękować dr Ryszardowi Herczyńskiemu za stałą, troskliwą opiekę w czasie doktorantury, częste dyskusje, cenne uwagi i propozycje, szczególnie zaś za bardzo wnikliwe przeczytanie rękopisu i zwrócenie uwagi na dostrzeżone błędy i niejasności.

### I. Założenia i pojęcia podstawowe

Zakładamy, że

- a/ gaz jest elektrycznie obojętny, niezbyt gęsty<sup>x/</sup>, jedno-  
składnikowy, złożony z cząstek o masie spoczynkowej  $m_0$ ,
- b/ w gazie nie zachodzą procesy kreacji i anihilacji cząstek,
- c/ zanedbujemy zewnętrzne pole sił,
- d/ ośrodek znajduje się w stanie bliskim lokalnej równowagi  
termodynamicznej,
- e/ rozważamy tylko postępowe stopnie swobody cząstek i te  
traktujemy klasycznie,
- f/ zderzenia cząstek uważamy za sprężyste.

Z mikroskopowego punktu widzenia stan ośrodka określa niezmiennicza funkcja rozkładu cząstek w przestrzeni fazowej. Definicję funkcji rozkładu i dowód jej niezmienniczości wobec transformacji Lorentza podają w swych pracach Synge [20], Czernikow [3,4,6], Masłowa [15]. Podkreślimy tu tylko, że  $f(\vec{p}, \vec{x})$  podaje liczbę cząstek o pędzie  $\vec{p}$  w punkcie czasoprzestrzeni  $\vec{x} = (\vec{r}, t)$ , przypadającą na jednostkę objętości fazowej. Przy przejściu od jednego inercyjnego układu odniesienia  $O(\vec{r}, t)$  do innego  $O^0(\vec{r}^0, t^0)$ , poruszającego się względem  $O$  z prędkością  $\vec{q}$ , obowiązującą następujące reguły transformacyjne:

11/

$$\vec{r}^0 = \vec{r} + \frac{\gamma^4 - 1}{q^2} (\vec{q} \cdot \vec{r}) \vec{q} - \gamma^4 \vec{q} t$$

$$t^0 = \gamma^4 \left( t - \frac{\vec{q} \cdot \vec{r}}{c^2} \right)$$

$$\gamma^4 = \left( 1 - \frac{q^2}{c^2} \right)^{-\frac{1}{2}}$$

---

<sup>x/</sup> Prawdopodobieństwo zderzeń potrójnych jest znacznie mniejsze niż podwójnych.

$c$  - prędkość światła.

Ustalamy, że

- 1/ wskaźniki łacińskie przebiegają wartości od 1 do 4, greckie od 1 do 3;
- 2/ obowiązuje reguła sumacyjna Einsteina;
- 3/ wskaźniki charakteryzujące wielkości tensorowe pisać będziemy u dołu;
- 4/ symbol, określający układ odniesienia, w którymbrane są wielkości, piszemy u góry;
- 5/ stosujemy metrykę zespoloną /eliminując tym samym konieczność rozróżniania tensorów kowa - i kontra-wariantnych/;
- 6/ całkę wielokrotną oznaczamy będziemy symbolem jednej całki uważając, że jest on rozciągnięty na wszystkie występujące w niej przyrosty elementarne;
- 7/ opuszczamy granice całkowania pamiętając, że obejmują one obszar danej zmiennej.

W oparciu o funkcję rozkładu możemy zdefiniować makroparametry ośrodka: gęstość liczbowa  $N$ , prędkość makroskopową  $\vec{q}$ , tensor energii - pędu  $T_{lk}$  :

$$12/ \quad N = \int f d^3\vec{p}$$

$$13/ \quad \vec{q} = \frac{\int f \vec{v} d^3\vec{p}}{\int f d^3\vec{p}}$$

$$14/ \quad T_{lk} = c^2 \int p_l p_k \frac{d^3\vec{p}}{\varepsilon} = \left\| \begin{array}{cc} P_{\alpha\beta} & \frac{i}{c} S_{\alpha} \\ \frac{i}{c} S_{\beta} & -\varepsilon \end{array} \right\|$$

gdzie:

$p_l = (\vec{p}, i \frac{\varepsilon}{c})$  - czteropęd cząstki,  $\varepsilon = m_0 c^2 \gamma$  - energia cząstki

$\gamma = (1 - \frac{v^2}{c^2})^{-1/2}$ ,  $\vec{p}$  - pęd cząstki,  $\vec{v}$  - prędkość cząstki

$d^3\vec{p}$  - element objętości w przestrzeni pędów,

$i^2 = -1$ ,  $P_{\alpha\beta}$  - gęstość tensora strumienia pędu,

$S_x$  - gęstość strumienia energii,  $\epsilon$  - gęstość energii.

Układ współrzędnych związany z elementem gazu, poruszającym się z prędkością makroskopową, nazwiemy układem własnym  $x'$  i oznaczać będziemy symbolem  $O^0$ .

Rozważania zarówno statystyczne /J.L.Synge [20]/, jak i kinetyczne /Czernikow [5]/ prowadzą do stwierdzenia, że ośrodek w stanie równowagi termodynamicznej jest opisany przez funkcję  $f_M^0$ , która jest relatywistycznym analogiem funkcji Maxwella-Boltzmannna:

$$f_M^0 = A e^{-B\epsilon^0}$$

$$A = \frac{N_M^0 \cdot X}{4\pi m_0^3 c^3 K_2(X)}$$

/5/

$$N_M^0 = \int f_M^0 d^3p^0$$

$$X = mc^2 B$$

$$K_n(X) = \int_0^\infty e^{-x \operatorname{ch} \chi} \operatorname{ch} n \chi d\chi \quad n=0, 1, 2, 3, \dots$$

B - moduł rozkładu kanonicznego

Temperaturę wprowadzamy wg następującej definicji:

$$kT^0 \stackrel{\text{def}}{=} \frac{c^2}{3N_M^0} \int p^{02} f_M^0 \frac{d^3p^0}{\epsilon^0}$$

/6/

i definicję tę rozciągamy na stany bliskie równowagi termodynamicznej. Mamy więc natychmiast związek  $T^0$  z modułem rozkładu kanonicznego B :

$$kT^0 = \frac{1}{B}$$

/6'/

$\bar{x}$  -----  
Istnieje również inny sposób określenia prędkości makroskopowej. Landau definiuje prędkość makroskopową żądając, aby w układzie własnym znikał średni pęd, a gęstość energii była taka, jak dla gazu idealnego.

Niektórzy autorzy [7] , [9] podejmują próbę uogólnienia definicji temperatury przez formalne zastąpienie w /6/ funkcji  $f_M^0$  pełną<sup>x/</sup> funkcją rozkładu  $f^0$ . W konkretnych rozważaniach żąda się jednak zawsze, by tak uogólniona temperatura pokrywała się z temperaturą określoną w myśl /6/. Żądanie to, znane niekiedy w literaturze pod nazwą postulatu Enskoga - Chapmana, prowadzi do pewnego ograniczenia na funkcję  $f^0$ :

$$/7/ \quad \int P^{02} f_D^0 \frac{d^3 p^0}{\epsilon^0} = 0$$

gdzie:

$$f_D^0 = f^0 - f_M^0$$

Jak się okaże z dalszych rozważań, w przypadku relatywistycznym ograniczenie takie prowadzi do sprzeczności. Definiując temperaturę wprost przez funkcję rozkładu dla stanu równowagi unikamy tym samym konieczności narzucania warunku /7/.

## II. Relatywistyczne równanie Boltzmana

Relatywistyczne równanie Boltzmana ma postać następującą:

$$/1/ \quad P_k \frac{\partial f}{\partial X_k} = \delta f$$

gdzie:

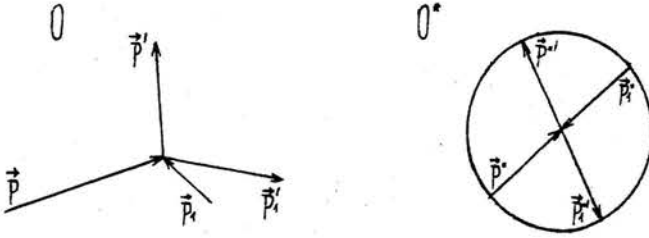
$$/2/ \quad \delta f = \frac{2}{c^2} \int (f f_1' - f f_1) v \cdot \epsilon \cdot \epsilon_1 d\sigma \frac{d^3 p_1}{\epsilon_1}$$

jest relatywistycznym członem zderzeniowym. Można dowieść, że równanie / 11, 1 / jest równoważne równaniu wyprowadzonemu przez Czernikowa [5] . Dla przejrzystego określenia wielkości występujących w równaniu Boltzmana podajemy poniżej

<sup>x/</sup>-----  
Tak będziemy nazywać funkcję rozkładu opisującą dowolny stan ośrodka, a więc nie tylko stan równowagi.



dwa rysunki, które ilustrują akt zderzenia cząstek w laboratoryjnym układzie odniesienia  $O$  i w układzie środka masy  $O^*$  /układ, w którym znika całkowity pęd cząstek zderzających się/:



$\vec{p}, \vec{p}_i, \varepsilon, \varepsilon_i, \vec{p}', \vec{p}'_i, \varepsilon', \varepsilon'_i$  - pędy i energie cząstek przed zderzeniem i po zderzeniu w układzie  $O$ ,

odpowiednie wielkości ze znacznikiem " \* " brane są w układzie środka masy,  $\vec{v}^*$  - prędkość cząstki w układzie środka masy;

$d\sigma = \frac{d\Omega_{\vec{p}'} \vec{p}_i}{d\Omega_{\vec{p}^*}}$  - różniczkowy przekrój czynny rozpraszania w układzie środka masy cząstki o pędzie

$\vec{p}^*$  na cząstce o pędzie  $\vec{p}_i$  w element kąta bryłowego  $d\Omega_{\vec{p}'}$  o osi  $\vec{p}^*$

$$f = f/\vec{p}, \vec{x}/, \quad f_i = f/\vec{p}, \vec{x}/, \quad f' = f/\vec{p}', \vec{x}/, \quad f'_i = f/\vec{p}'_i, \vec{x}/$$

Trudności, jakie napotyka się przy wyprowadzeniu relatywistycznego równania Boltzmann'a wiążą się głównie ze sprowadzeniem członu zderzeniowego do postaci boltzmanowskiej.

Równanie /1,1/ jest jawnie relatywistycznie niezmiennicze.

Formalnie różni się ono od postaci klasycznej jedynie czynnikiem  $\frac{\varepsilon' \varepsilon'_i}{\varepsilon \varepsilon_i}$  występującym w członie zderzeniowym /należy poza tym pamiętać, że wszystkie wielkości w tym równaniu są relatywistyczne/.

Okazuje się, że podobnie jak klasycznie [7], człon zderzeniowy zachowuje pewne charakterystyczne własności. Podajemy najważniejsze z nich:

13a/

$$\int \varphi f f'_i W \frac{d^3\vec{p}}{\varepsilon} \frac{d^3\vec{p}_i}{\varepsilon_i} = \int \varphi' f f_i W \frac{d^3\vec{p}}{\varepsilon} \frac{d^3\vec{p}_i}{\varepsilon_i}$$

$$/3b/ \quad \int \varphi \int f \frac{d^3 p}{\varepsilon} = \frac{1}{4} \int (\varphi_+ \varphi_1 - \varphi'_- \varphi'_1) \int f \frac{d^3 p}{\varepsilon}$$

gdzie

$$/3c/ \quad W = \frac{2}{c^2} V^* \varepsilon^* \varepsilon_1^* d\sigma^* \quad d\sigma^* = \frac{d\Omega_{\vec{p}^*}}{d\Omega_{\vec{p}'^*}}$$

$f, \varphi$  są dowolnymi funkcjami pędu i czasoprzestrzeni, określenia  $\varphi_1, \varphi'_-, \varphi'_1$  - analogiczne do określeń  $f, f', f'_1$ . Mnożąc / 11, 1 / przez  $\varphi$  i całkując po przestrzeni pędów dostajemy relatywistyczne równanie transportu wielkości  $\varphi$  :

$$/4/ \quad \int \varphi p_m \frac{\partial f}{\partial x_m} \frac{d^3 p}{\varepsilon} = \int \varphi \int f \frac{d^3 p}{\varepsilon}$$

### III. Układ równań gazodynamiki relatywistycznej.

Uzyskanie równoważnego układu równań na makrowielkości wydaje się ważne z dwu względów, mianowicie ze względu na większą komunikatywność równań na bezpośrednio wielkości fizyczne /obserwable/, jak również ze względu na trudności związane z rozwiązaniem równania Boltzmanna. Formalnie układ taki zawarty jest w równaniu / 11, 4 /. Jak łatwo widać, własność członu zderzeniowego wyrażona w równaniu / 11, 3b / zabezpiecza spełnienie praw zachowania masy spoczynkowej /równanie ciągłości/, pędu i energii. Kładąc w równaniu / 11, 4 / kolejno  $\varphi=1, \varphi=p_l$  i korzystając z / 11, 3b / dostajemy odpowiednio równanie ciągłości i równania zachowania tensora energii pędu:

$$/1/ \quad \frac{\partial N_k}{\partial x_k} = 0$$

$$/2/ \quad \frac{\partial T_{lk}}{\partial x_k} = 0$$

gdzie

$N_k = N^0 U_k$  - jest tzw. czterowektorem prądu cząstek<sup>x/</sup>.  
Wielkości  $\varphi = 1, p_i$ , podobnie jak klasycznie, nazywać  
będziemy inwariantami zderzeniowymi  $\varphi_{inv}$ . Jeśli przyjąć,  
że stan ośrodka jest jednoznacznie określony przez 5 makro-  
parametrów /np.  $N^0, T^0, \vec{q}$  /, to tym samym układ /1/, /2/  
stanowi zupełny układ równań. Problem sprowadza się więc do  
określenia tensora energii-pędu  $T_{lk}$  przez makroparametry.  
Okazuje się, że tensor energii-pędu znajduje się najłatwiej  
w układzie własnym. Znając  $T_{lk}^0$  możemy w prosty sposób uzys-  
kać  $T_{lk}$ , stosując reguły transformacyjne dla tensorów:

$$/3/ \quad T_{lk} = a_{lm} a_{kn} T_{mn}^0$$

gdzie

$$/4/ \quad a_{lm} = \left\| \begin{array}{cc} \delta_{\alpha\beta} + \frac{\gamma^i - 1}{q^2} q_\alpha q_\beta & -\frac{i}{c} \gamma^i q_\alpha \\ \frac{i}{c} \gamma^i q_\beta & \gamma^i \end{array} \right\|$$

jest macierzą transformacji Lorentza,  $\delta_{\alpha\beta}$  symbolem Kronec-  
kera. Dla ośrodka w stanie lokalnej równowagi termodynamicz-  
nej /wtedy  $f^0 = f_m^c$  / mamy natychmiast:

$$/5/ \quad T_{lk}^0 = \left\| \begin{array}{cc} P_M \delta_{\alpha\beta} & 0 \\ 0 & -\epsilon_M \end{array} \right\|$$

$$/6/ \quad T_{lk} = (P_M + \epsilon_M) U_l U_k + P_M \delta_{lk}$$

gdzie

---

<sup>x/</sup> Definicja  $u_k$  - patrz poniżej wzór /6'/

16' / 
$$u_i = \left\| \begin{array}{c} \gamma^L \vec{q} / c \\ i \gamma^L \end{array} \right\|$$
 jest czteroprędkością makroskopową,

$P_M, \epsilon_M$  - relatywistyczne maxwellowskie ciśnienie i gęstość energii /tzn. obliczone w oparciu o funkcję rozkładu  $f_n^0$  /:

17 / 
$$P_M = 4 \pi A m_0^4 c^5 \frac{K_2(x)}{x^2}$$

18 / 
$$\epsilon_M = 4 \pi A m_0^4 c^5 \left[ \frac{K_1(x)}{x} + \frac{3K_2(x)}{x^2} \right]$$

Wstawiając  $T_{lk}$  z /6/ do równania /2/ i dołączając równanie /1/ uzyskujemy tym samym pełny układ równań opisujący gaz idealny. Dla naszych dalszych rozważań korzystniejszy będzie zapis tego układu w nieco innej formie. W tym celu zapiszemy równanie transportu / 11,4 / z funkcją  $f_n$  i z  $\varphi_{inv}$  w układzie własnym:

19' x / 
$$\int \varphi_{inv}^0 P_m^0 \frac{\partial f_n^0}{\partial x_m^0} \frac{d^3 p^0}{\epsilon^0} = 0$$

Obliczmy następnie w tym układzie pochodną funkcji  $f_n^0$  :

110 / 
$$\frac{\partial f_n^0}{\partial x_m^0} = f_n^0 \left( \frac{1}{A} \frac{\partial A}{\partial x_m^0} - \epsilon^0 \frac{\partial B}{\partial x_m^0} - B \frac{\partial \epsilon^0}{\partial x_m^0} \right)$$

Ponieważ

111 / 
$$\epsilon^0 = \gamma^L (\epsilon - \vec{p} \cdot \vec{q})$$

więc:

112 / 
$$\frac{\partial \epsilon^0}{\partial x_m^0} = \frac{\epsilon}{c^2} \gamma^L \vec{q} \cdot \frac{\partial \vec{q}}{\partial x_m^0} - \gamma^L \vec{p} \cdot \frac{\partial \vec{q}}{\partial x_m^0}$$

x / Kładąc w / 11,4 /  $\frac{\partial f_n^0}{\partial x_m^0} = f_n^0$  nie można położyć  $\varphi^0 \neq \varphi_{inv}^0$ , gdyż dla  $f_n^0$   $P_m^0 \frac{\partial f_n^0}{\partial x_m^0} = 0$  i wtedy każda wielkość  $\varphi^0$  byłaby zachowana.

Relacja /12/ jest słuszna w dowolnym laboratoryjnym układzie odniesienia  $O$ , a więc również w układzie laboratoryjnym pokrywającym się lokalnie z  $O^0$ . Ale dla takiego układu  $\vec{q}^0 = 0$ ,  $\delta^{i0} = 1$ . Uwzględniając to dostajemy natychmiast:

$$/13/ \quad \frac{\partial f_M^0}{\partial X_m^0} = f_M^0 \left( \frac{1}{A} \frac{\partial A}{\partial X_m^0} - \varepsilon^0 \frac{\partial B}{\partial X_m^0} + B p_\lambda^0 \frac{\partial q_\lambda^0}{\partial X_m^0} \right)$$

Kładąc w /9/ kolejno  $\varphi_{inv}^0 = 1$ ,  $\varphi_{inv}^0 = p_\lambda$  i wykorzystując /13/ otrzymujemy odpowiednio równania: ciągłości, zachowania pędu i energii w układzie własnym elementu gazowego dla płynu idealnego w zmiennych  $A, B, \vec{q}^0$ :

$$/14/ \quad P_M B \frac{\partial q_\lambda^0}{\partial X_\lambda^0} + \frac{N_M^0}{A} \frac{\partial A}{\partial t^0} - \epsilon_M \frac{\partial B}{\partial t^0} = 0$$

$$/15/ \quad \frac{P_M}{c^2} \frac{1}{A} \frac{\partial A}{\partial X_\lambda^0} - \frac{1}{3} N_M^0 \overline{(p^0)^2} \frac{\partial B}{\partial X_\lambda^0} + \frac{1}{3c^2} N_M^0 B \overline{(p^0)^2} \frac{\partial q_\lambda^0}{\partial t^0} = 0$$

$$/16/ \quad \frac{c^2}{3} N_M^0 B \overline{(p^0)^2} \frac{\partial q_\lambda^0}{\partial X_\lambda^0} + \epsilon_M \frac{1}{A} \frac{\partial A}{\partial t^0} - N_M^0 \overline{(\varepsilon^0)} \frac{\partial B}{\partial t^0} = 0$$

gdzie

$$/17/ \quad \overline{\varphi} = \frac{1}{N_M^0} \int \varphi f_M^0 d^3 \vec{p}^0$$

#### IV. Metoda efektywnego określenia tensora energii - pędu z uwzględnieniem procesów dyssypacyjnych.

Zakładamy, że ośrodek znajduje się w stanie bliskim lokalnej równowagi termodynamicznej. Możemy uznać, że stan ten jest wynikiem ewolucji stanu równowagi. Dla rozwiązania postawionego problemu zastosujemy metodę podobną do metody momentów Grada [9]. W tym celu bierzemy  $f^0$  w następującej postaci:

$$/1/ \quad f^0 = f_M^0 + f_D^0 = f_M^0 \left( 1 + a_\alpha p_\alpha^0 + b_{\alpha\beta} p_\alpha^0 p_\beta^0 + c_{\alpha\beta\gamma} p_\alpha^0 p_\beta^0 p_\gamma^0 + \dots \right)$$

$f_3^0$  jest częścią funkcji rozkładu związaną z procesami dyssypacyjnymi. Konieczność uwzględnienia w rozwinięciu wyrazów w 3. potędze względem  $p_2^0$  związana jest z tym, że zaproponowany rozkład zawiera najmniejszą liczbę wyrazów, przy której jest możliwe przybliżone określenie tensora naprężeń lepkich i strumienia ciepła. Warto podkreślić, że klasycznie powyższe rozwinięcie równoważne jest metodzie 13 momentów Grada [9]. Operowanie makropędkością zdefiniowaną w / 1, 3 / prowadzi do znikania pędkości makroskopowej w układzie własnym. Mamy więc warunek:

$$/2/ \quad \int f^0 \vec{v}^0 d^3 p^0 = 0$$

Jak zwykle zakładamy będziemy, że tensory  $b_{\alpha\beta}$  i  $C_{\alpha\beta\gamma}$  są symetryczne. Są to w naszym przypadku jedyne ograniczenia na współczynniki rozwinięcia. Sens fizyczny parametrów rozwinięcia można w prosty sposób określić korzystając z definicji tensora energii-pędu w układzie własnym  $T_{ik}^0$ . Jeśli równocześnie uwzględnić warunek /2/ i symetryczność tensorów  $b_{\alpha\beta}$  i  $C_{\alpha\beta\gamma}$ , to po niezbyt skomplikowanych przeliczeniach dostaniemy:

$$/3/ \quad f^0 = f_n^0 \left[ 1 + (a + b p^0)^2 S_\alpha p_\alpha^0 + (g T_{\alpha\beta}^0 + h T_{ij}^0 \delta_{\alpha\beta}) p_\alpha^0 p_\beta^0 \right]$$

gdzie  $x/$ :

$$/4a/ \quad T_{ij}^0 \stackrel{df}{=} p_i dx_j - p_j dx_i$$

$$/4b/ \quad a = -5 m_0^2 c^2 \frac{K_3}{K_2} b$$

$$/4c/ \quad b = \frac{-x^3 \left[ \frac{2}{x} K_1 + K_0 \right]}{20 \pi A m_0^2 c^9 \left[ \left( 1 - \frac{32}{x^4} \right) K_1^2 - \left( \frac{2}{x} + \frac{32}{x^3} \right) K_0 K_1 - \left( 1 + \frac{8}{x^2} \right) K_0^2 \right]}$$

$x/$  w dalszych rozważaniach funkcje Mac Donalda  $K_n/x/$  od pojedynczego argumentu oznaczamy będziemy  $K_n$ .

$$/4d/ \quad g = - \frac{x^3}{8\pi A m_0^6 c^7 K_3}$$

$$/4e/ \quad h = - \frac{1}{5} g$$

Mamy więc do określenia 9 wielkości:  $S_j^0$  /3/,  $\tau_{ij}^0$  /6- gdyż tensor symetryczny/ w funkcji makroparametrów  $N_n^0$ ,  $T^0$ ,  $\bar{q}$ . W tym celu postąpimy podobnie jak przy znajdowaniu równania ciągłości i równań zachowania tensora energii-pędu. Mianowicie, kładąc w / II, 4 /  $\psi = p_i^0 \cdot p_k^0$  i korzystając z niezmienniczości równania Boltzmann'a oraz niezmienniczości  $d^3\vec{p} / \xi$  dostaniemy natychmiast:

$$/5/ \quad \int p_i^0 p_k^0 p_m^0 \frac{\partial f^0}{\partial x_m} \frac{d^3\vec{p}^0}{\xi^0} = \int p_i^0 p_k^0 \int f^0 \frac{d^3\vec{p}^0}{\xi^0}$$

Jest to poszukiwany układ dziewięciu równań na określenie  $S_j^0$  i  $\tau_{ij}^0$  /równanie 10. dla  $l = 4$ ,  $k = 4$  jest liniowo zależne z równaniami /5/ dla  $l = k = \alpha = \beta$  i równaniem ciągłości / III, 1 /.

Dla określenia  $S_j^0$  i  $\tau_{ij}^0$ , podobnie jak w metodzie 13 momentów Grada, zastosujemy następujący schemat iteracyjny [21]:

$$/6/ \quad \int p_i^0 p_k^0 p_m^0 \frac{\partial f^{0(n-1)}}{\partial x_m} \frac{d^3\vec{p}^0}{\xi^0} = \int p_i^0 p_k^0 \int f^{0(n)} \frac{d^3\vec{p}^0}{\xi^0}$$

gdzie:

$$/7/ \quad f^{0(n)} = f_n^0 \left[ 1 + (\alpha + \beta p^0)^2 S_\alpha^{0(n)} p_\alpha^0 + (h \tau_{ij}^{0(n)} \int d\alpha\beta + g \tau_{\alpha\beta}^{0(n)}) p_\alpha^0 p_\beta^0 \right]$$

Poziom równań Navier-Stokesa, czyli 1. przybliżenie dla  $S_j^0$  i  $\tau_{ij}^0$  odpowiada przyjęciu po lewej stronie /6/  $f^{0(n)} = f_n^0$ , a po prawej stronie /6/ przyjęciu  $f^{0(n)} \cdot f_1^{0(n)}$  w formie zlinearyzowanej [21] /ponieważ interesuje nas tylko 1. przybliżenie, w dalszych rozważaniach indeks "1/" oznaczający iterację będziemy opuszczać/:

$$/8/ \quad (f^0 f_1^0)_L = f_m^0 f_{m1}^0 \left[ 1 + (a+bp^2) p_{\alpha}^0 S_{\alpha}^0 + (a+bp^2) p_{\alpha}^0 S_{\alpha}^0 + (g \tau_{\alpha\beta}^0 + h \tau_{\alpha\beta}^0 d_{\alpha\beta}^0) (p_{\alpha}^0 p_{\beta}^0 + p_{\alpha}^0 p_{\beta}^0) \right]$$

Pierwsze przybliżenie uzyskamy zatem z układu:

$$/9/ \quad \int p_i^0 p_k^0 p_m^0 \frac{\partial f_m^0}{\partial x_m^0} \frac{d^3 p^0}{\varepsilon^0} = \int p_i^0 p_k^0 dL f^0 \frac{d^3 p^0}{\varepsilon^0}$$

gdzie  $dL f^0$  jest członem zderzeniowym zlinearyzowanym w sensie wyrażonym w /8/ :

$$/10/ \quad dL f^0 = \int W^0 \left[ (f^0 f_1^0)_L - (f^0 f_1^0)_L \right] \frac{d^3 p_1^0}{\varepsilon_1^0}$$

#### V. Tensor energii-pędu w układzie własnym.

Przystąpimy obecnie do efektywnego rozwiązania układu / IV, 9 /. Postępowanie podzielimy na dwie części. W części 1. określimy lewą stronę / IV, 9 /, w części 2. prawą stronę / IV, 9 /. W każdej z tych części wyróżnimy z kolei dwa przypadki: a/  $l=j, k=j$  i b/  $l=4, k=j$ . Rozróżnianie przypadków a/ i b/ wiąże się ideowo z charakterem wielkości tensorowych. Jak się okaże z dalszych rozważań przypadek a/, który można by nazwać przestrzennym pozwoli określić tensor naprężeń lepkich  $\bar{T}_{j\gamma}^0$ , przypadek b/, który można by nazwać przestrzenno-czasowym pozwoli określić strumień ciepła  $S_j^0$ .

1. Określenie lewej strony / IV, 9 /

a/ Przypadek  $l=j, k=j$ .

Kładąc w / IV, 9 /  $l=j, k=j$  i korzystając z / III, 13 / dostaniemy:

$$/1/ \quad \int p_i^0 p_j^0 p_m^0 \frac{\partial f_m^0}{\partial x_m^0} \frac{d^3 p^0}{\varepsilon^0} = BN_m^0 \left( \frac{p_x^0 p_y^0}{\varepsilon^0} \right) (d_{rs} d_{r\eta} + d_{r\eta} d_{rs} + d_{rs} d_{s\eta}) \frac{\partial q_{\eta}^0}{\partial x_{\eta}^0} +$$

$$+ \frac{1}{3c^2} \frac{N_m^0}{A} (p^0)^2 d_{rs} \frac{\partial A}{\partial t^0} - \frac{1}{3c^2} N_m^0 (p^0 \varepsilon^0) d_{rs} \frac{\partial B}{\partial t^0}$$



Kierując się analogią do przypadku klasycznego, chcemy uzyskać  $\tau_{ij}^0$  zależne tylko od pochodnych prędkości. Pochodne  $\frac{\partial A}{\partial t^0}$  i  $\frac{\partial B}{\partial t^0}$  możemy wyeliminować korzystając z równań ciągłości / III, 14 / i równania energii / III, 16 / dla cieczy idealnej. Do problemu eliminacji pochodnych z równań cieczy idealnej powrócimy jeszcze w dyskusji. Krok ten można traktować jako skorzystanie w danej iteracji z rezultatów poprzedniej iteracji. Procedura ta, znana klasycznie, stosowana jest również powszechnie w formalizmie relatywistycznym. Rozwiązanie wskazanego układu równań ze względu na  $\frac{1}{A} \frac{\partial A}{\partial t^0}$  i  $\frac{\partial B}{\partial t^0}$  prowadzi do:

$$/2/ \quad \frac{1}{A} \frac{\partial A}{\partial t^0} = \frac{B}{N_M^0} \frac{N_M^0 P_M (\overline{\epsilon^{02}}) - \frac{c^2}{3} \epsilon_M N_M^0 (\overline{p^{02}})}{\frac{\epsilon_M^2}{N_M^0} - N_M^0 (\overline{\epsilon^{02}})} \frac{\partial q_{\lambda}^0}{\partial x_{\lambda}^0}$$

$$/3/ \quad \frac{\partial B}{\partial t^0} = B \frac{\frac{1}{N_M^0} \epsilon_M P_M - \frac{c^2}{3} N_M^0 (\overline{p^{02}})}{\frac{1}{N_M^0} \epsilon_M^2 - N_M^0 (\overline{\epsilon^{02}})} \frac{\partial q_{\lambda}^0}{\partial x_{\lambda}^0}$$

Uwzględniając /2/, /3/ możemy zapisać lewą stronę / IV, 9 / dla  $l = j$  ,  $k = j$  w postaci:

$$/4/ \quad \int p_r^0 p_s^0 p_m^0 \frac{\partial t_m^0}{\partial x_m^0} \frac{d^3 p^0}{\epsilon^0} = \left( \frac{p_x^0 p_y^0}{\epsilon^0} \right) B N_M^0 (\overline{d_{rj} d_{\eta\lambda} + d_{r\eta} d_{j\lambda} + d_{r\lambda} d_{j\eta}}) \frac{\partial q_{\lambda}^0}{\partial x_{\lambda}^0} + \frac{B \overline{D}}{3} d_{rj} \frac{\partial q_{\lambda}^0}{\partial x_{\lambda}^0}$$

gdzie

$$\overline{D} = \frac{1}{c^2 \left( \frac{1}{N_M^0} \epsilon_M^2 - N_M^0 (\overline{\epsilon^{02}}) \right)} \left[ (\overline{p^{02}}) (N_M^0 (\overline{\epsilon^{02}}) P_M - \frac{c^2}{3} \epsilon_M N_M^0 (\overline{p^{02}})) - N_M^0 (\overline{p^{02} \epsilon^0}) \left( \frac{1}{N_M^0} \epsilon_M P_M - \frac{c^2}{3} N_M^0 (\overline{p^{02}}) \right) \right]$$

Dla poszczególnych wielkości średnich otrzymujemy:

$$\left( \frac{p_x^0 p_y^0}{\epsilon^0} \right) = \frac{4 \pi A m_0^6 c^5 K_3}{N_M^0 X^3} \quad \epsilon_M = 4 \pi A m_0^4 c^5 \left[ \frac{K_1}{X} + \frac{3 K_2}{X^2} \right]$$

$$/5/ \quad (\overline{\epsilon^{02}}) = \frac{4 \pi A m_0^5 c^7}{N_M^0} \left[ \frac{3}{X^2} K_3 + \frac{1}{X} K_2 \right] \quad (\overline{p^{02}}) = \frac{12 \pi A m_0^5 c^5}{N_M^0} \frac{K_3}{X^2}$$

$$P_M = 4\pi A m_0^4 c^5 \frac{K_2}{X^2}$$

$$\overline{(P^{02} \varepsilon^0)} = \frac{4\pi A}{N_M^0} m_0^6 c^7 \left[ \frac{15}{X^3} K_3 + \frac{3}{X^2} K_2 \right]$$

Związki te dają:

$$/6/ \quad \overline{D} = 4\pi A m_0^6 c^5 \frac{1}{X^3} \frac{T_1}{T_2}$$

gdzie

$$/7/ T_1 = 3 \left[ \left( -1 - \frac{12}{X^2} - \frac{4}{X^4} + \frac{160}{X^6} \right) K_1^3 + \left( -\frac{4}{X} + \frac{16}{X^3} + \frac{240}{X^5} \right) K_1^2 K_0 + \left( 1 + \frac{19}{X^2} + \frac{120}{X^4} \right) K_1 K_0^2 + \left( \frac{5}{X} + \frac{20}{X^3} \right) K_0^3 \right]$$

i

$$/8/ \quad T_2 = \left( 1 + \frac{2}{X^2} - \frac{12}{X^4} \right) K_1^2 + \left( -\frac{1}{X} - \frac{12}{X^3} \right) K_0 K_1 + \left( -1 - \frac{3}{X^2} \right) K_0^2$$

Ostatecznie więc lewa strona równania / IV, 9 / dla  $l = \gamma$ ,  $k = \gamma$  ma postać następującą:

$$/9/ \quad \int P_r^0 P_j^0 P_m^0 \frac{\partial f_M^0}{\partial X_m^0} \frac{d^3 v^0}{\varepsilon^0} = 4\pi A m_0^6 c^5 \frac{K_3}{X^3} B (d_{\gamma\gamma}^0 d_{\eta\lambda}^0 + d_{r\eta}^0 d_{\lambda\gamma}^0 + d_{r\lambda}^0 d_{\gamma\eta}^0) \frac{\partial q_{\lambda}^0}{\partial X_{\eta}^0} + \\ + \frac{4}{3} \pi A m_0^6 c^5 \frac{B}{X^3} \frac{T_1}{T_2} d_{r\gamma}^0 \frac{\partial q_{\lambda}^0}{\partial X_{\lambda}^0}$$

Przeprowadzając analogiczną procedurę w przypadku klasycznym otrzymamy:

$$/10/ \quad \int V_r^0 V_j^0 D^0 f_M^0 d^3 v^0 = \frac{P_M}{m_0} \frac{\partial \overline{q_{rj}^0}}{\partial X_j^0}$$

gdzie

$$D^0 = \frac{\partial}{\partial t^0} + \vec{V}^0 \frac{\partial}{\partial \vec{r}^0} \quad f_m^{oc} = A^c e^{-\frac{mv^0^2}{2}} B \quad A^c = N \left( \frac{mB}{2\pi} \right)^{3/2}$$

$$/11/ \quad \frac{\partial q_r^0}{\partial x_s^0} = \frac{\partial q_r^0}{\partial x_s^0} + \frac{\partial q_s^0}{\partial x_r^0} - \frac{2}{3} \delta_{rs} \frac{\partial q_s^0}{\partial x_s^0}$$

Pamiętając, że w przypadku klasycznym:

$$/12/ \quad \frac{\partial}{\partial x_s^0} = \frac{\partial}{\partial x_s} \quad \frac{\partial q_r^0}{\partial x_s^0} = \frac{\partial q_r}{\partial x_s}$$

możemy wynik /10/ zidentyfikować z rezultatem 1. przybliżenia w metodzie Grada 13 momentów [21] /p.str.28 lewa strona pierwszego wzoru 12-10 przy  $\tau_{ij} = 0, q_i = 0/$ .

b. Przypadek  $l = 4, k = \checkmark$ .

Przeprowadzając podobne obliczenia dla  $l = 4, k = \checkmark$  dostaniemy:

$$/13/ \int p_4^0 p_3^0 p_m^0 \frac{\partial f_m^0}{\partial x_m^0} \frac{d^3 \vec{p}^0}{\mathcal{E}^0} = \frac{i}{c} \left[ \frac{1}{3A} \frac{\partial A}{\partial x_s^0} N_m^0 \overline{(p^0)^2} - \frac{1}{3} N_m^0 \overline{(p^0)^2 \mathcal{E}^0} \frac{\partial B}{\partial x_s^0} \right] + \frac{i}{c} \frac{N_m^0}{3c^2} \overline{(p^0)^2 \mathcal{E}^0} \frac{\partial q_s^0}{\partial t^0}$$

Pochodną  $\frac{\partial q_s^0}{\partial t^0}$  możemy wyeliminować korzystając z równania pędu gazu idealnego / III, 15 /. Zauważmy, że

$$/14/ \quad \frac{1}{A} \frac{\partial A}{\partial x_s^0} = \frac{1}{N_m^0 X} \left[ 3 N_m^0 \frac{\partial X}{\partial x_s^0} + X \frac{\partial N_m^0}{\partial x_s^0} + N_m^0 X \frac{\partial X}{\partial x_s^0} \frac{K_1}{K_2} \right]$$

możemy ostatecznie napisać

$$/15/ \int p_4^0 p_3^0 p_m^0 \frac{\partial f_m^0}{\partial x_m^0} \frac{d^3 \vec{p}^0}{\mathcal{E}^0} = \frac{i}{c} \frac{m_0^2 c^2}{X^2} \left[ 3 N_m^0 \frac{\partial X}{\partial x_s^0} + X \frac{\partial N_m^0}{\partial x_s^0} + N_m^0 X \frac{K_1}{K_2} \frac{\partial X}{\partial x_s^0} \right] \left[ \frac{4}{X} + \frac{K_1}{K_2} - \frac{1 + \frac{5}{X} \frac{K_1}{K_2}}{\frac{4}{X} + \frac{K_1}{K_2}} \right]$$

Klasycznie procedura ta prowadzi do:

$$/16/ \quad \int \frac{1}{2} m v^0^2 v_\alpha^0 D f_m^{oc} d^3 \vec{v}^0 = \frac{5}{2} \frac{k}{m_0} P_m \frac{\partial T}{\partial x_\alpha}$$

czyli znów uzyskujemy wynik identyczny z rezultatem pierwszego przybliżenia w metodzie 13 momentów Grada [21] /str.28, lewa strona drugiego wzoru 12 - 10 przy  $\tau_{ij} = 0$ ,  $q_i = 0$  /.

2. Określenie prawej strony równania / IV, 9 /.

Na podstawie praw zachowania pędu i energii przy zderzeniu cząstek mamy:

$$/17/ \quad f_M^0 f_{M1}^0 = f_M^{01} f_{M1}^{01}$$

$$/18/ \quad f_M^0 f_{M1}^0 (\vec{p}^0 + \vec{p}_1^0) = f_M^{01} f_{M1}^{01} (\vec{p}^{01} + \vec{p}_1^{01})$$

Stąd wynikają natychmiast równości:

$$/19/ \quad \int \varphi f_M^0 f_{M1}^0 W^0 \frac{d^3 \vec{p}^0}{\xi^0} \frac{d^3 \vec{p}_1^0}{\xi_1^0} = \int \varphi f_M^{01} f_{M1}^{01} W^0 \frac{d^3 \vec{p}^{01}}{\xi^0} \frac{d^3 \vec{p}_1^{01}}{\xi_1^0}$$

$$/20/ \quad \int \varphi f_M^0 f_{M1}^0 (\vec{p}^0 + \vec{p}_1^0) W^0 \frac{d^3 \vec{p}^0}{\xi^0} \frac{d^3 \vec{p}_1^0}{\xi_1^0} = \int \varphi f_M^{01} f_{M1}^{01} (\vec{p}^{01} + \vec{p}_1^{01}) W^0 \frac{d^3 \vec{p}^{01}}{\xi^0} \frac{d^3 \vec{p}_1^{01}}{\xi_1^0}$$

Równości te bardzo istotnie upraszczają obliczenia, gdyż w miejsce prawej strony / IV, 9 / możemy napisać

$$/21/ \quad \int p_i^0 p_k^0 \mathcal{L}_{LN}^0 \frac{d^3 \vec{p}^0}{\xi^0} = \int p_i^0 p_k^0 \mathcal{L}_{LN}^{01} \frac{d^3 \vec{p}^0}{\xi^0}$$

gdzie:

$$/22/ \quad \mathcal{L}_{LN}^0 f^0 = \int W^0 [(f^{01} f_{1}^{01})_{LN} - (f^0 f_{1/LN})] \frac{d^3 \vec{p}_1^0}{\xi_1^0}$$

$$/23/ \quad (f^0 f_{1/LN}) = f_M^0 f_{M1}^0 [b S_\alpha^0 (p^{\alpha 2} p_\alpha^0 + p_1^{\alpha 2} p_{1\alpha}^0) + (g T_{\alpha\beta}^0 + h T_{\alpha\beta}^0 d_{\alpha\beta}) (p_\alpha^0 p_\beta^0 + p_{1\alpha}^0 p_{1\beta}^0)]$$

Z kolei własność / 11, 3a / członu zderzeniowego pozwala zapisać prawą stronę / 14, 9 / w formie bardzo dogodnej do obliczeń:

$$/24/ \quad \int p_i^0 p_k^0 d^3 \vec{p}^0 \frac{d^3 \vec{p}^0}{\xi^0} = \frac{1}{c^2} \int (p_i^0 p_k^0 - p_i^0 p_k^0) (f_{i1}^{00})_{LN} \frac{d^3 \vec{p}^0}{\xi^0}$$

Wielkości  $p_i^0$ ,  $V^*$ ,  $\xi^*$ ,  $\xi_i^*$  wyrażamy przez parametry  $\vec{p}^0$ ,  $\vec{p}_i^0$ ,  $\xi^0$ ,  $\xi_i^0$ ,  $\vec{l}^{*0} = \frac{\vec{p}^{*0}}{|\vec{p}^{*0}|}$ , które jednoznacznie określają akt zderzenia

$$\vec{p}^{*0} = \vec{p}^{*0} + \frac{\gamma_{\vec{v}} - 1}{V_{\vec{v}}^2} \vec{V}_{\vec{v}} (\vec{V}_{\vec{v}} \cdot \vec{p}^{*0}) + \gamma_{\vec{v}} \vec{V}_{\vec{v}} \frac{\xi^{*0}}{c^2}$$

$$/25/ \quad \xi^{*0} = \gamma_{\vec{v}} \xi^{*0} \left(1 + \frac{\vec{V}_{\vec{v}} \cdot \vec{V}^{*0}}{c^2}\right) \quad V^* = \frac{c}{\xi^*} (\xi^{*2} - m_0^2 c^4)^{1/2}$$

$$\xi^* = \gamma_{\vec{v}} \xi^0 \left(1 - \frac{\vec{V}_{\vec{v}} \cdot \vec{V}^0}{c^2}\right) \quad \xi_i^* = \gamma_{\vec{v}} \xi_i^0 \left(1 - \frac{\vec{V}_{\vec{v}} \cdot \vec{V}_i^0}{c^2}\right)$$

gdzie  $\vec{V}_{\vec{v}}$  jest prędkością układu środka masy:

$$/26/ \quad \vec{V}_{\vec{v}} = \frac{\vec{p}^0 + \vec{p}_1^0}{\xi^0 + \xi_1^0} c^2 \quad \gamma_{\vec{v}} = \left(1 - \frac{V_{\vec{v}}^2}{c^2}\right)^{-1/2}$$

Ponieważ w układzie środka masy:

$$/27/ \quad p^{*0} = p^* \quad \xi^{*0} = \xi^* \quad +/$$

więc korzystając ze związków transformacyjnych dla czteropędu, otrzymujemy  $\vec{p}^{*0}$ ,  $\xi^{*0}$  w poszukiwanej postaci jawnej zależności od parametrów zderzenia  $\vec{p}^0$ ,  $\vec{p}_1^0$ ,  $\vec{l}^{*0}$ :

$$/28/ \quad \vec{p}^{*0} = p^* \vec{l}^{*0} + \frac{\gamma_{\vec{v}} - 1}{V_{\vec{v}}^2} \vec{V}_{\vec{v}} (\vec{V}_{\vec{v}} \cdot \vec{l}^{*0}) p^* + \gamma_{\vec{v}} \vec{V}_{\vec{v}} \frac{\xi^*}{c^2}$$

$$\xi^{*0} = \gamma_{\vec{v}} \xi^* \left(1 + \frac{\vec{V}_{\vec{v}} \cdot \vec{l}^{*0}}{c^2}\right)$$

$\overline{x}$  równość energii zachodzi tylko w przypadku cząstek zderzających się o równych masach.

Wykorzystując związki /25/ po prostych przekształceniach dostaniemy:

$$/29/ \quad V^* \xi^* = c \left[ \frac{1}{2} (\xi^0 \xi_1^0 - p^0 p_1^0 c^2 \vec{l}^0 \cdot \vec{l}_1^0 - m_0^2 c^4) \right]^{1/2}$$

$$/30/ \quad \xi_1^* = \left[ \frac{1}{2} (\xi^0 \xi_1^0 - p^0 p_1^0 c^2 \vec{l}^0 \cdot \vec{l}_1^0 + m_0^2 c^4) \right]^{1/2}$$

gdzie  $\vec{l}^0$ ,  $\vec{l}_1^0$  są jednostkowymi wektorami odpowiednio w kierunkach  $\vec{p}^0$ ,  $\vec{p}_1^0$ . Przyjmijmy jako hipotezę roboczą, że różniczkowy przekrój czynny w układzie środka masy jest stały:

$$/31/ \quad x/ \quad \frac{dC_{\vec{p}^0 \vec{p}_1^0}}{d\Omega_{\vec{p}_1^0}} = \text{const} = R_0^2$$

Całkowanie po przestrzeniach kątów i energii

a. Przypadek  $l = \vec{l}$ ,  $k = \vec{l}$

Na podstawie /28/ mamy:

$$\begin{aligned} p_r^0 p_s^0 &= p^2 l_r^0 l_s^0 + \frac{\delta_{rs}-1}{V_r^2} V_{rs} p^2 (\vec{V}_r \cdot \vec{l}^0) l_r^0 + \frac{\delta_{rs}-1}{V_r^2} V_{rs} p^2 (\vec{V}_r \cdot \vec{l}^0) l_s^0 + \delta_{rs} \frac{V_{rs}}{c^2} p^2 \xi^0 l_r^0 + \\ &+ \delta_{rs} \frac{V_{rs}}{c^2} \xi^0 p l_s^0 + \frac{(\delta_{rs}-1)^2}{V_r^4} V_{rs} V_{rs} p^2 (\vec{V}_r \cdot \vec{l}^0)^2 + 2 \frac{\delta_{rs}(\delta_{rs}-1)}{V_r^2} \frac{\xi^0 p^0}{c^2} V_{rs} V_{rs} (\vec{V}_r \cdot \vec{l}^0) + \delta_{rs}^2 \frac{\xi^0^2}{c^2} V_{rs} V_{rs} \end{aligned}$$

W wyrażeniu /24/ od  $\vec{l}^0$  zależy tylko  $p_i^0 p_k^0$ . Całkując /32/ po przestrzeni kierunków  $\vec{l}^0$  dostajemy:

$$/33/ \quad \int p_r^0 p_s^0 d\Omega_{\vec{l}^0} = \frac{4}{3} \pi p^2 \delta_{rs} + \frac{16}{3} \pi p^2 \frac{\delta_{rs}}{c^2} V_{rs} - 4\pi m_0^2 \delta_{rs}^2 V_{rs} V_{rs}$$

Dalej mamy:

$x/R_0$  można interpretować jako promień cząstki w jej układzie własnym /promień własny/.

$$/34a/ \quad c^2 p^{*2} = \frac{1}{2} (\varepsilon^0 \varepsilon_1^0 - m_0^2 c^4 - p^0 p_1^0 c^2 \vec{l}^0 \cdot \vec{l}_1^0)$$

$$/34b/ \quad \gamma_{\Sigma}^2 = \frac{(\varepsilon^0 + \varepsilon_1^0)^2}{2(m_0^2 c^4 + \varepsilon^0 \varepsilon_1^0 - p^0 p_1^0 c^2 \vec{l}^0 \cdot \vec{l}_1^0)}$$

$$/34c/ \quad V_{\Sigma r} V_{\Sigma s} = \frac{c^4}{(\varepsilon^0 + \varepsilon_1^0)^2} (p^{02} l_r^0 l_s^0 + p^0 p_1^0 l_r^0 l_s^0 + p^0 p_1^0 l_s^0 l_r^0 + p_1^{02} l_r^0 l_s^0)$$

Elementarne przekształcenia z uwzględnieniem /29/, /30/, /33/, /34/ pozwalają /24/ zapisać w postaci:

$$\int p_r^0 p_s^0 d\vec{l} \int \frac{d^3 p^0}{\varepsilon^0} = \frac{R_0^2}{c} \int f_M^0 f_M^0 \frac{p^{02} p_1^{02}}{\varepsilon^0 \varepsilon_1^0} [2 \int A_{rs}^{(1)} d\Omega_{r_1} + 2 \int A_{rs}^{(3)} d\Omega_{r_1} + \int A_{rs}^{(2)} d\Omega_{r_1}] dp^0 dp_1^0$$

gdzie:

$$/35/ \quad A_{rs}^{(1)} = \int K_{rs}^{(1)} F D d\Omega_{r_1} \quad A_{rs}^{(2)} = \int K_{rs}^{(2)} F^A D d\Omega_{r_1}$$

$$A_{rs}^{(3)} = \int K_{rs}^{(3)} F D d\Omega_{r_1}$$

$$F = b p^{02} S_{\alpha}^0 p_{\alpha}^0 + (g T_{\alpha\beta}^0 + h T_{\alpha\beta}^0 d_{\alpha\beta}) p_{\alpha}^0 p_{\beta}^0$$

$$F^A = b S_{\alpha}^0 (p^{0\alpha} p_{\alpha}^0 + p_1^{\alpha} p_{1\alpha}^0) + (g T_{\alpha\beta}^0 + h T_{\alpha\beta}^0 d_{\alpha\beta}) (p_{\alpha}^0 p_{\beta}^0 + p_{1\alpha}^0 p_{1\beta}^0)$$

$$K_{rs}^{(1)} = \frac{2}{3c^2} \Pi d_{rs} D^{(1)} - \frac{2}{3} \Pi m_0^2 c^4 D^{(2)} (p^{02} l_r^0 l_s^0 + p^0 p_1^0 l_r^0 l_s^0 + p^0 p_1^0 l_s^0 l_r^0 + p_1^{02} l_r^0 l_s^0)$$

$$K_{rs}^{(2)} = -4 \Pi p^{02} l_r^0 l_s^0$$

$$K_{rs}^{(3)} = \frac{4}{3} \Pi (p^{02} l_r^0 l_s^0 + p^0 p_1^0 l_r^0 l_s^0 + p^0 p_1^0 l_s^0 l_r^0 + p_1^{02} l_r^0 l_s^0)$$

$$D = [(\varepsilon^0 \varepsilon_1^0 - p_1^0 p^0 c^2 \vec{l}^0 \cdot \vec{l}_1^0)^2 - (m_1^0 c^4)^2]^{1/2}$$

$$D^{(1)} = \varepsilon^0 \varepsilon_1^0 - p_1^0 p^0 c^2 \vec{l}^0 \cdot \vec{l}_1^0 - m_1^0 c^4 \quad D^{(2)} = [\varepsilon^0 \varepsilon_1^0 - p_1^0 p^0 c^2 (\vec{l}_1^0 \cdot \vec{l}_1^0 + m_1^0 c^4)]^{-1}$$

Zauważmy, że  $K_{ry}^{(1)}$ ,  $K_{ry}^{(2)}$  są symetryczne względem zmiennych  $\vec{p}^0$ ,  $\vec{p}_1^0$ , zaś  $K_{ry}^{(1)}$  niesymetryczne. Obliczenie całek  $A_{ry}$  w układzie współrzędnych o dowolnie skierowanych osiach byłoby zbyt uciążliwe. Znacznie prościej można je wykonać w specjalnym układzie współrzędnych  $\bar{O}$ , w którym oś  $\bar{z} \parallel \vec{l}_1^0$ . Całki  $A_{ry}$  w układzie o dowolnie skierowanych osiach odzyskamy stosując reguły transformacji tensorów wobec obrotu układu współrzędnych. Mianowicie:

$$/37/ \quad A_{ry} = d\alpha_1 d\alpha_2 d\alpha_3 \bar{A}_{\alpha\eta}$$

gdzie  $d\alpha_i$  są elementami macierzy transformacyjnej, reprezentującej obrót układu  $O^0$  do pokrycia z  $\bar{O}$ :

$$/38/ \quad d\alpha_1 = \begin{vmatrix} -\cos\mathcal{J}_1 \cos\varphi_1 & \sin\varphi_1 & \sin\mathcal{J}_1 \cos\varphi_1 \\ -\cos\mathcal{J}_1 \sin\varphi_1 & -\cos\varphi_1 & \sin\mathcal{J}_1 \sin\varphi_1 \\ \sin\mathcal{J}_1 & 0 & \cos\mathcal{J}_1 \end{vmatrix}$$

$\mathcal{J}_1$ ,  $\varphi_1$  są kątami biegunowym i azymutalnym kierunku  $\vec{l}_1^0$  w układzie  $O^0$ . Całki występujące przy całkowaniu  $A_{ry}$  po przestrzeni kątów  $\vec{l}_1^0$  są elementarne, niemniej jednak ze względu na ich ilość obliczenia należą do wyjątkowo żmudnych. Rezultat jest następujący:

$$/39/ \quad \int A_{ry}^{(1)} d\Omega_{\vec{l}_1^0} = \frac{8\pi^2}{3c^2} p^{02} E \left( \frac{g}{3} + h \right) \tau_{11}^0 \int_{ry} -$$



$$-\frac{8}{9}\pi^2 m_0^2 c^4 \left\{ (p^0{}^4 H + 2p^0{}^3 p_i I) \left[ \frac{1}{5} g (2\tau_{rs}^0 + \tau_{rs}^0 \delta_{rs}) + h \tau_{rs}^0 \delta_{rs} \right] + p^0{}^2 p_i^2 \left[ \frac{1}{5} g (H_3 - H_1) (\tau_{\mu\mu}^0 \delta_{rs} + 2\tau_{rs}^0) + (gH_1 + hH) \tau_{rs}^0 \delta_{rs} \right] \right\}$$

/40/

$$\int A_{rs}^{(2)} d\Omega_{\vec{r}} = -\frac{16}{3}\pi^2 p^0{}^4 E^A \left[ \frac{1}{5} g (2\tau_{rs}^0 + \tau_{rs}^0 \delta_{rs}) + h \tau_{rs}^0 \delta_{rs} \right] - \frac{16}{3}\pi^2 p^0{}^2 p_i^2 \left[ \frac{1}{5} g (E_3^A - E_1^A) (\tau_{\mu\mu}^0 \delta_{rs} + 2\tau_{rs}^0) + (gE_1^A + hE^A) \tau_{rs}^0 \delta_{rs} \right]$$

/41/

$$\int A_{rs}^{(3)} d\Omega_{\vec{r}} = \frac{16}{9}\pi^2 \left\{ (p^0{}^4 E^A + 2p^0{}^3 p_i I^A) \left[ \frac{1}{5} g (2\tau_{rs}^0 + \tau_{rs}^0 \delta_{rs}) + h \tau_{rs}^0 \delta_{rs} \right] + p^0{}^2 p_i^2 \left[ \frac{1}{5} g (E_3^A - E_1^A) (\tau_{\mu\mu}^0 \delta_{rs} + 2\tau_{rs}^0) + (gE_1^A + hE^A) \tau_{rs}^0 \delta_{rs} \right] \right\}$$

/42/

$$E_\alpha = \int (\bar{\tau}_\alpha^0)^2 \bar{D}^{(1)} \bar{D} d\Omega_{\vec{r}^0} \quad E^A = \int (\bar{\tau}_\alpha^0)^2 \bar{D} d\Omega_{\vec{r}^0}$$

$$H_\alpha = \int (\bar{\tau}_\alpha^0)^2 \bar{D}^{(2)} \bar{D} d\Omega_{\vec{r}^0}$$

$$E = \delta_{\alpha\alpha} E_\alpha \quad E^A = \delta_{\alpha\alpha} E^A$$

$$H = \delta_{\alpha\alpha} H_\alpha$$

$$\bar{I} = \int \cos \bar{\tau}^0 \bar{D}^{(2)} \bar{D} d\Omega_{\vec{r}^0} \quad I^A = \int \cos \bar{\tau}^0 \bar{D} d\Omega_{\vec{r}^0}$$

Znaczek " ~ " przy wielkościach przypomina, że są one brane w układzie  $\bar{O}$ ; kąty  $\tilde{\gamma}$ ,  $\tilde{\varphi}$  określają kierunek w układzie  $\bar{O}$ . Warto podkreślić, że podobnie jak klasycznie wszystkie całki związane ze strumieniem energii znikają. Zauważając, że:

$$h = -\frac{1}{5}g, \quad E_1 = E_2, \quad H_1 = H_2, \quad E_1^A = E_2^A$$

po prostych przeliczeniach dostaniemy:

$$\begin{aligned} & 2 \int A_{rs}^{(1)} d\Omega r_i + \int A_{rs}^{(2)} d\Omega r_i + 2 \int A_{rs}^{(3)} d\Omega r_i = \\ & = \frac{32}{45} g \Pi^3 p^{\circ 2} \tau_{rr}^{\circ} \left\{ -m c^4 (\tilde{D} \tilde{D}^{(2)}) (2p^{\circ 2} + 4p^{\circ} p_i \cos \tilde{\gamma} - p_i^2 + 3p_i^2 \cos^2 \tilde{\gamma}) \sin \tilde{\gamma} d\tilde{\gamma} + \right. \\ /43/ & \left. + \tilde{D} (-2p^{\circ 2} + 8p^{\circ} p_i \cos \tilde{\gamma} + p_i^2 - 3p_i^2 \cos^2 \tilde{\gamma}) \sin \tilde{\gamma} d\tilde{\gamma} \right\} + \\ & + \frac{32}{45 c^2} \Pi^3 g p^{\circ 2} \tau_{rr}^{\circ} d\tau \left\{ 2 \int \tilde{D}^{(1)} \tilde{D} \sin \tilde{\gamma} d\tilde{\gamma} - m c^4 p_i^2 \int \tilde{D}^{(2)} \tilde{D} \sin^3 \tilde{\gamma} d\tilde{\gamma} - p_i^2 c^2 \int \sin^3 \tilde{\gamma} \tilde{D} d\tilde{\gamma} \right\} \end{aligned}$$

Wyrażenia zawarte w /43/ całkują się prosto przez podstawienie

$$/44/ \quad Z = \varepsilon^{\circ} \varepsilon_i^{\circ} - p^{\circ} p_i c^2 \cos \tilde{\gamma}$$

Jeśli ponadto w miejsce  $p^{\circ}$ ,  $p_i$  wprowadzić nowe zmienne:

$$/45/ \quad p^{\circ} = m c \operatorname{sh} \chi, \quad p_i = m c \operatorname{sh} \chi_1$$

to poszczególne całki wyrażą się następująco:

$$\begin{aligned} /46/ \quad & \int_0^{\pi} \tilde{D} \tilde{D}^{(2)} \cos^2 \tilde{\gamma} \sin \tilde{\gamma} d\tilde{\gamma} = \frac{(\operatorname{ch} \chi \operatorname{ch} \chi_1 + 1)^2}{\operatorname{sh}^3 \chi \operatorname{sh}^3 \chi_1} (\Lambda^A - \Lambda^E) - \\ & \frac{\operatorname{ch} \chi \operatorname{ch} \chi_1 + 1}{\operatorname{sh}^3 \chi \operatorname{sh}^3 \chi_1} (\Lambda^B - \Lambda^E) + \frac{1}{\operatorname{sh}^3 \chi \operatorname{sh}^3 \chi_1} \left( \frac{1}{3} \Lambda^C + \frac{1}{2} \Lambda^B - \frac{1}{2} \Lambda^E \right) \end{aligned}$$

$$\int_0^{\pi} \bar{D} \bar{D}^{(2)} \cos \bar{J} \sin \bar{J} d\bar{J} = \frac{ch \chi ch \chi_1 + 1}{sh^2 \chi sh^2 \chi_1} (\Lambda^A - \Lambda^E) - \frac{1}{2 sh^2 \chi sh^2 \chi_1} (\Lambda^B - \Lambda^E)$$

$$\int_0^{\pi} \bar{D} \bar{D}^{(2)} \sin \bar{J} d\bar{J} = \frac{1}{sh \chi sh \chi_1} (\Lambda^A - \Lambda^E)$$

$$\int_0^{\pi} \bar{D} \sin \bar{J} d\bar{J} = \frac{m_0^2 c^4}{2 sh \chi sh \chi_1} (\Lambda^B - \Lambda^E)$$

$$\int_0^{\pi} \bar{D} \cos \bar{J} \sin \bar{J} d\bar{J} = \frac{m_0^2 c^4 ch \chi ch \chi_1}{2 sh^2 \chi sh^2 \chi_1} (\Lambda^B - \Lambda^E) - \frac{m_0^2 c^4}{3 sh^2 \chi sh^2 \chi_1} \Lambda^C$$

$$\int_0^{\pi} \bar{D} \cos^2 \bar{J} \sin \bar{J} d\bar{J} = m_0^2 c^4 \left( \frac{ch^2 \chi ch^2 \chi_1}{2 sh^3 \chi sh^3 \chi_1} + \frac{1}{8 sh^3 \chi sh^3 \chi_1} \right) (\Lambda^B - \Lambda^E) + \frac{m_0^2 c^4}{sh^3 \chi sh^3 \chi_1} \left( \frac{\Lambda^D}{4} - \frac{2}{3} ch \chi ch \chi_1 \Lambda^D \right)$$

$$\int_0^{\pi} \bar{D}^{(4)} \bar{D} \sin \bar{J} d\bar{J} = \frac{(m_0^2 c^4)^2}{sh \chi sh \chi_1} \left( \frac{1}{3} \Lambda^C + \frac{1}{2} \Lambda^B - \frac{1}{2} \Lambda^E \right)$$

gdzie

$$\Lambda^A = sh(\chi + \chi_1) - sh|\chi - \chi_1| \quad \Lambda^B = ch(\chi + \chi_1) sh(\chi + \chi_1) - ch(\chi - \chi_1) sh|\chi - \chi_1|$$

/40/

$$\Lambda^C = sh^3(\chi + \chi_1) - sh^3|\chi - \chi_1| \quad \Lambda^D = ch(\chi + \chi_1) sh^3(\chi + \chi_1) - ch(\chi - \chi_1) sh^3|\chi - \chi_1|$$

$$\Lambda^E = \chi + \chi_1 - \ln [sh|\chi - \chi_1| + ch(\chi - \chi_1)]$$

Przed przystąpieniem do całkowania po przestrzeniach energii /teraz po zmiennych  $\chi$ ,  $\chi_1$  / przekształcamy prawą stronę / IV,9 / do postaci:

$$/41/ \int p_r^0 p_s^0 \delta_L f^0 \frac{d^3 p^0}{\xi^0} = R_0^2 A^2 m_0^2 c^{11} \frac{32}{45} \pi^3 g [\tau_{rr}^0 (X'' - X') + \tau_{\mu\mu}^0 \delta_{kr} X''']$$

gdzie:

$$\begin{aligned}
 X' &= \int_0^{\infty} \int_0^{\infty} e^{-x \operatorname{ch} \chi} e^{-x \operatorname{ch} \chi_1} \operatorname{sh}^4 \chi \operatorname{sh}^2 \chi_1 \left[ \int_0^{\pi} \tilde{D}^{(2)} (2 \operatorname{sh}^2 \chi + 4 \operatorname{sh} \chi \operatorname{sh} \chi_1 \cos \tilde{J} - \operatorname{sh}^2 \chi_1 + 3 \operatorname{sh}^2 \chi_1 \cos^2 \tilde{J}) \sin \tilde{J} d\tilde{J} \right] d\chi d\chi_1 \\
 42' / X'' &= \int_0^{\infty} \int_0^{\infty} e^{-x \operatorname{ch} \chi} e^{-x \operatorname{ch} \chi_1} \operatorname{sh}^4 \chi \operatorname{sh}^2 \chi_1 \frac{1}{m_0^2 c^4} \left[ \int_0^{\pi} \tilde{D}^{(2)} (-2 \operatorname{sh}^2 \chi + 8 \operatorname{sh} \chi \operatorname{sh} \chi_1 \cos \tilde{J} + \operatorname{sh}^2 \chi_1 - 3 \operatorname{sh}^2 \chi_1 \cos^2 \tilde{J}) \sin \tilde{J} d\tilde{J} \right] d\chi d\chi_1 \\
 X''' &= \int_0^{\infty} \int_0^{\infty} e^{-x \operatorname{ch} \chi} e^{-x \operatorname{ch} \chi_1} \operatorname{sh}^4 \chi \operatorname{sh}^2 \chi_1 \left[ \frac{2}{(m_0^2 c^4)^2} \int_0^{\pi} \tilde{D}^{(4)} \sin \tilde{J} d\tilde{J} - \operatorname{sh}^2 \chi_1 \int_0^{\pi} \tilde{D}^{(2)} \sin^3 \tilde{J} d\tilde{J} - \frac{\operatorname{sh}^2 \chi_1}{m_0^2 c^4} \int_0^{\pi} \tilde{D} \sin^3 \tilde{J} d\tilde{J} \right] d\chi d\chi_1
 \end{aligned}$$

Aby pozbyć się modułu  $|\chi - \chi_1|$  występującego w wyrażeniach /42/ rozbijamy całkowanie w następujący sposób:

$$/43/ \int_0^{\infty} \int_0^{\infty} J(\chi, \chi_1) d\chi = J_A + J_B \quad J_A = \int_0^{\infty} d\chi_1 \int_0^{\chi_1} J(\chi, \chi_1) d\chi \quad J_B = \int_0^{\infty} d\chi_1 \int_{\chi_1}^{\infty} J(\chi, \chi_1) d\chi$$

gdzie  $J(\chi, \chi_1)$  reprezentuje funkcje podcałkowe w wyrażeniach  $X$ . Okazuje się, że we wszystkich całkach z indeksem "A"  $\operatorname{sh} \chi_1$  zawsze występuje w potęgze nieparzystej, zaś w całkach typu "B" w potęgze nieparzystej zawsze występuje  $\operatorname{sh} \chi$ . W całkach typu "B" proste podstawienie  $\operatorname{ch} \chi = y$  pozwala na elementarne wycałkowanie po  $\chi$ . Drugie całkowanie po zmiennej  $\chi_1$  prowadzi do funkcji Bessela  $K_n(x)$  / $n = 0, 1, 2, 3, 4$ /. W całkach typu "A" dokonujemy zmiany granic całkowania w myśl reguły:

$$/44/ \int_0^{\infty} d\chi_1 \int_0^{\chi_1} J(\chi, \chi_1) d\chi = \int_0^{\infty} d\chi \int_{\chi}^{\infty} J(\chi, \chi_1) d\chi_1$$

co umożliwia efektywne wykonanie całkowań, podobnie jak w "B". Zauważmy, że gdy  $J(\chi, \chi_1)$  jest funkcją symetryczną w zmiennych  $\chi, \chi_1$  to:

x/ Jest to konsekwencją występowania w wyrażeniach podcałkowych modułu  $|\chi - \chi_1|$

$$/45/ \quad \int_0^{\infty} \int_0^{\infty} J(x, \chi_1) dx d\chi_1 = 2 \int_0^{\infty} dx_1 \int_0^{\infty} J(x, \chi_1) dx$$

Ponieważ wyrażenia  $DD^{(1)}$ ,  $D$ ,  $DD^{(2)}$  są funkcjami symetrycznymi w zmiennych  $X$ ,  $\chi_1$ , fakt ten w przypadkach, kiedy całe wyrażenia podcałkowe jest symetryczne, znacznie upraszcza obliczenia. Całki występujące w  $X^I$ ,  $X^II$ ,  $X^III$  w przeważającej ilości nie są stabilizowane. Wyniki obliczeń są następujące:

$$X^{II} - X^I = -\frac{980}{X^6} K_4(2x) - \left(\frac{320}{X^5} + \frac{3060}{X^7}\right) K_3(2x) - \left(\frac{100}{X^4} + \frac{1740}{X^6} + \frac{5760}{X^8}\right) K_2(2x) -$$

$$-\left(\frac{156}{X^5} + \frac{4080}{X^7} + \frac{1440}{X^9}\right) K_1(2x) - \left(-\frac{100}{X^4} + \frac{2679}{4X^6} + \frac{1440}{X^8}\right) K_0(2x)$$

/46/

$$X^{III} = 2 \left[ \frac{210}{X^6} K_4(2x) + \left(\frac{45}{X^5} + \frac{570}{X^7}\right) K_3(2x) + \left(\frac{3}{X^4} + \frac{276}{X^6} + \frac{672}{X^8}\right) K_2(2x) + \right.$$

$$\left. + \left(\frac{48}{X^5} + \frac{456}{X^7}\right) K_1(2x) + \left(-\frac{3}{X^4} + \frac{375}{4X^6}\right) K_0(2x) \right]$$

Posługując się wzorem rekurencyjnym

$$/47/ \quad K_{n+1}(x) - K_{n-1}(x) = \frac{2nK_n(x)}{x}$$

możemy uzyskane rezultaty wyrazić przez funkcje Bessela pierwszego i zerowego rzędu

$$/48/ \quad X^{II} - X^I = -\left(\frac{576}{X^5} + \frac{13440}{X^7} + \frac{19200}{X^9}\right) K_1(2x) - \left(\frac{16119}{4X^6} + \frac{19200}{X^8}\right) K_0(2x)$$

$$X^{III} = 2 \left[ \left(\frac{96}{X^5} + \frac{2232}{X^7} + \frac{3072}{X^9}\right) K_1(2x) + \left(\frac{2679}{4X^6} + \frac{3072}{X^8}\right) K_0(2x) \right]$$

Ostatecznie prawa strona równania transportu na określenie tensora naprężeń lepkich wyraża się następująco:

$$/49/ \quad \int p_i^0 p_j^0 dL f^0 \frac{d^3 p^0}{\varepsilon^0} = - \frac{\pi R_0^2 m_d N_M^0}{c X^{45} K_2(X) K_3(X)} (\alpha_A \tau_{ij}^0 + \beta_A \tau_{ij}^0 d_{ij})$$

gdzie

$$/50/ \quad \alpha_A = (X^{II} - X^I) X^5 \quad \beta_A = X^{III} X^5$$

b. Przypadek  $l = 4, k = 9$ .

Na podstawie /28/ mamy:

$$p_i^0 p_j^0 = \frac{i}{c} \delta_{ij} [\varepsilon^0 p^0 l_j^0 + \frac{\sqrt{\varepsilon^0 - 1}}{V_{\varepsilon^0}} p^0 \varepsilon^0 (\vec{v}_x \cdot \vec{l}^0)] + \delta_{ij} V_{\varepsilon^0} \frac{\varepsilon^0}{c^2} + p^0 (\vec{v}_x \cdot \vec{l}^0) l_j^0 +$$

/51/

$$+ p^0 \frac{\sqrt{\varepsilon^0 - 1}}{V_{\varepsilon^0}} V_{\varepsilon^0} (\vec{v}_x \cdot \vec{l}^0)^2 + \delta_{ij} V_{\varepsilon^0} \frac{p^0 \varepsilon^0}{c^2} (\vec{v}_x \cdot \vec{l}^0)]$$

Wykonanie całkowania po przestrzeni kątów  $\vec{l}^0$  daje:

$$/52/ \quad \int p_i^0 p_j^0 d\Omega_{\vec{l}^0} = \frac{i}{c} \frac{4\pi}{3} \delta_{ij} V_{\varepsilon^0}^2 \left( 3 \frac{\varepsilon^0}{c^2} + p^0 \right)$$

Wykorzystując określenie prędkości  $\vec{v}_x$  i związki /29/, /30/, /34/, /52/ uzyskamy / IV, 9 / w postaci:

$$\int p_i^0 p_j^0 dL f^0 \frac{d^3 p^0}{\varepsilon^0} = \frac{i}{c} \frac{8}{3} \pi \frac{R_0^2}{c} \int \frac{\varepsilon^0 + \varepsilon_i^0}{\varepsilon^0 \varepsilon_i^0} f_n^0 f_m^0 p^0 p_i^0 p_j^0 [B_{ij}^{(n)} d\Omega_{\vec{l}^0}] dp^0 dp_i^0 -$$

/53/

$$- \frac{i}{c} \frac{4}{3} \pi \frac{R_0^2}{c} m_d^2 \int \frac{\varepsilon^0 + \varepsilon_i^0}{\varepsilon^0 \varepsilon_i^0} f_n^0 f_m^0 p^0 p_i^0 p_j^0 [B_{ij}^{(n)} d\Omega_{\vec{l}^0}] dp^0 dp_i^0 -$$

$$- \frac{i}{c} \frac{4\pi R_0^2}{c} \int \frac{p^0}{\varepsilon_i^0} f_n^0 f_m^0 p^0 p_i^0 p_j^0 [B_{ij}^{(n)} d\Omega_{\vec{l}^0}] dp^0 dp_i^0$$

gdzie

$$B_{\vec{y}}^{(1)} = \int K_{\vec{y}}^S DF d\Omega_{\vec{r}} \quad B_{\vec{y}}^{(2)} = \int K_{\vec{y}}^S DD^{(2)} F d\Omega_{\vec{r}}$$

/54/

$$B_{\vec{y}}^{(3)} = \int I_{\vec{y}}^S DF^A d\Omega_{\vec{r}} \quad K_{\vec{y}}^S = p_0^S l_{\vec{y}} + p_1^S l_{\vec{y}}$$

Całki  $B_{\vec{y}}$ , podobnie jak poprzednio, wykonujemy w specjalnym układzie  $\vec{O}$ . Korzystając częściowo z uzyskanych poprzednio rezultatów otrzymamy:

$$\int B_{\vec{y}}^{(1)} d\Omega_{\vec{r}} = \frac{4}{3} \pi p_0^4 b E^A S_{\vec{y}}^0 + p_1^3 p_1^2 \frac{4}{3} \pi b I^A S_{\vec{y}}^0$$

/55/

$$\int B_{\vec{y}}^{(2)} d\Omega_{\vec{r}} = \frac{4}{3} \pi b H p_0^4 S_{\vec{y}}^0 + \frac{4}{3} \pi b I p_1^3 p_1^2 S_{\vec{y}}^0$$

$$\int B_{\vec{y}}^{(3)} d\Omega_{\vec{r}} = \frac{4}{3} \pi b E^A p_1^3 S_{\vec{y}}^0 + \frac{4}{3} \pi b I^A p_1^3 S_{\vec{y}}^0$$

Tym razem znikają wszystkie wyrazy związane z tensorem naprężeń  $\tau_{\vec{r}\vec{r}}^0$ . Wykonując efektywnie całki po przestrzeni  $\vec{r}$  możemy wyniki przedstawić w postaci:

$$\int B_{\vec{y}}^{(1)} d\Omega_{\vec{r}} = \frac{4}{3} \pi^2 b m_0^6 c^8 S_{\vec{y}}^0 \left[ \frac{1}{\text{sh} \chi_1} (\Lambda^B - \Lambda^E) + \frac{\text{ch} \chi \text{ch} \chi_1}{\text{sh}^2 \chi \text{sh} \chi_1} (\Lambda^B - \Lambda^E) - \frac{2}{3 \text{sh}^2 \chi \text{sh} \chi_1} \Lambda^C \right] \text{sh}^3 \chi$$

/56/

$$\int B_{\vec{y}}^{(2)} d\Omega_{\vec{r}} = \frac{8}{3} \pi^2 b m_0^6 c^4 \text{sh}^3 \chi S_{\vec{y}}^0 \left[ \frac{1}{\text{sh} \chi_1} (\Lambda^A - \Lambda^E) + \frac{\text{ch} \chi \text{ch} \chi_1 + 1}{\text{sh}^2 \chi \text{sh} \chi_1} (\Lambda^A - \Lambda^E) - \frac{1}{2 \text{sh}^2 \chi \text{sh} \chi_1} (\Lambda^B - \Lambda^E) \right]$$

$$\int B_{\vec{y}}^{(3)} d\Omega_{\vec{r}} = \frac{8}{3} \pi^2 b m_0^5 c^7 S_{\vec{y}}^0 \left[ \frac{\text{sh}^2 \chi}{2 \text{sh} \chi_1} (\Lambda^B - \Lambda^E) + \frac{\text{ch} \chi \text{ch} \chi_1 \text{sh} \chi_1}{2 \text{sh}^2 \chi} (\Lambda^B - \Lambda^E) - \frac{\text{sh} \chi_1}{3 \text{sh}^2 \chi} \Lambda^C \right]$$

Jeśli postępować podobnie jak w p. A, dostaniemy:

/57/

$$\int p_1^2 p_0^2 d\vec{r} \int \frac{d^3 \vec{p}}{\varepsilon^0} = \frac{i}{c} \frac{32}{9} \pi^3 \frac{R_0^2}{c} A^2 m_0^{11} c^{12} b S_{\vec{y}}^0 \gamma$$

gdzie:

$$/58/ \quad Y = -\left(\frac{115}{4x^4} + \frac{55}{4x^6} + \frac{2655}{2x^8}\right)K_3(2x) - \left(\frac{15}{2x^3} + \frac{467}{4x^5} + \frac{2895}{2x^7} + \frac{10680}{x^9}\right)K_2(2x) - \\ - \left(-\frac{145}{4x^4} + \frac{51}{4x^6} + \frac{8220}{x^8}\right)K_1(2x) + \left(\frac{15}{2x^3} + \frac{767}{4x^5} - \frac{1824}{x^7} - \frac{5040}{x^9}\right)K_0(2x) + \\ + \left(\frac{-35}{2x^5} + \frac{105}{2x^7}\right)K_4(2x) + \frac{315}{4x^6}K_5(2x)$$

Korzystając z /47/ uzyskamy  $Y$  w znacznie prostszej formie:

$$/59/ \quad Y = -\left(\frac{192}{x^6} + \frac{7680}{x^8} + \frac{13440}{x^{10}}\right)K_1(2x) - \left(\frac{2424}{x^7} + \frac{13440}{x^9}\right)K_0(2x)$$

Ostatecznie więc postać prawej strony równania transportu dla  $l = 4$ ,  $k = 9$  jest następująca:

$$/60/ \quad \int p_4^0 p_3^0 dL^0 \frac{d^3 p^0}{\varepsilon^0} = \frac{i}{c} \frac{2}{45} \frac{\pi R_0^2 m_0}{c} \frac{N_H x^4 Y}{\left(1 + \frac{8}{x^2}\right)K_0^2 + \left(\frac{2}{x} + \frac{32}{x^3}\right)K_0 K_1 - \left(1 - \frac{32}{x^4}\right)K_1^2} \int_S^0$$

Tensor naprężeń lepkich, strumień ciepła i tensor energii-pędu w układzie własnym. Porównując /9/ i /49/ stronami dostajemy:

$$/61/ \quad \alpha_A T_{\lambda\lambda}^0 + \beta_A T_{\mu\mu}^0 \delta_{\lambda\lambda} = -\frac{45 m_0 c K_3}{\pi R_0^2} \left[ K_3 \frac{\partial q_2^0}{\partial x_2^0} (\delta_{\lambda\lambda} \delta_{\eta\lambda} + \delta_{\eta\eta} \delta_{\lambda\lambda} + \delta_{\lambda\lambda} \delta_{\eta\eta}) + \frac{1}{3} \frac{\partial q_2^0}{\partial x_2^0} \delta_{\lambda\lambda} \frac{T_1}{T_2} \right]$$

Stąd można wyliczyć

$$/62/ \quad T_{\lambda\lambda}^0 = \mu_1 \frac{\partial q_2^0}{\partial x_2^0} + \mu_2 \frac{\partial q_2^0}{\partial x_2^0} \delta_{\lambda\lambda} \quad /63/ \quad T_{\mu\mu}^0 = 3\mu_2 \frac{\partial q_2^0}{\partial x_2^0}$$

gdzie:

$$/64/ \quad \mu_1 = -\frac{45 m_0 c K_3^2}{\pi R_0^2 \alpha_A} \quad \mu_2 = -\frac{15 m_0 c K_3}{\pi R_0^2} \frac{5K_3 + \frac{T_1}{T_2}}{\alpha_A + 3\beta_A}$$

W ramach naszej teorii uzyskaliśmy więc niezerowy ślad tensora naprężeń lepkich. Tym samym warunek / 1, 7 / nie może być



spełniony. Wynika stąd, że w przypadku relatywistycznym nie można skonstruować rozwiązań normalnych /rozwiązania normalne są to takie rozwiązania, dla których pokrywają się makroparametry obliczone w oparciu o funkcje rozkładu  $f^o$  i  $f_n^o$  /. Z kolei przez porównanie /15/ i /60/ uzyskujemy:

$$/65/ \quad S_j^o = -k_T \frac{\partial T^o}{\partial X_j^o} + k_N \frac{\partial \ln N_n^o}{\partial X_j^o}$$

gdzie:

$$k_N = -\frac{15 m_e c^3 X}{128 \pi R_0^2} \frac{W_1 W_2}{W_3} \quad k_T = -\frac{15 c k X^2}{128 \pi R_0^2} \left( 3 + X \frac{K_1}{K_2} \right) \frac{W_1 W_2}{W_3}$$

$$/66/ \quad W_1 = \frac{\left(1 + \frac{2}{X^2} - \frac{16}{X^4}\right) K_1^2 - \left(\frac{1}{X} + \frac{16}{X^3}\right) K_0 K_1 - \left(1 + \frac{4}{X^2}\right) K_0^2}{2\left(\frac{1}{X} + \frac{8}{X^3}\right) K_1^2 + \left(1 + \frac{16}{X^2}\right) K_0 K_1 + \frac{4}{X} K_0^2}$$

$$W_2 = \left(1 + \frac{8}{X^2}\right) K_0^2 + \left(\frac{2}{X} + \frac{32}{X^3}\right) K_0 K_1 - \left(1 - \frac{32}{X^4}\right) K_1^2$$

$$W_3 = \left(1 + \frac{40}{X^2} + \frac{70}{X^4}\right) K_1(2X) + \left(\frac{303}{24X} + \frac{70}{X^3}\right) K_0(2X)$$

Strumień ciepła możemy wyrazić również poprzez gradient jednej wielkości termodynamicznej  $A$  :

$$/67/ \quad S_j^o = k_N \frac{\partial \ln A}{\partial X_j^o}$$

Wykresy zależności współczynników transportu  $\mu_1$ ,  $\mu_2$ ,  $k_T$ ,  $k_N$  od temperatury zostały sporządzone w oparciu o obliczenia numeryczne i są przedstawione na rys. 1, 2, 3, 4. Wartości współczynników podaje tabela 1.

W oparciu o uzyskane rezultaty możemy ostatecznie przedstawić tensor energii-pędu w układzie własnym  $T_{lk}^o$ . W tym celu rozbijmy  $T_{lk}^o$  na część maxwellowską  $T_{lk}^{m^o}$  i dyssypacyjną  $T_{lk}^{s^o}$  :

$$/68/ \quad T_{lk}^0 = T_{lk}^{M0} + T_{lk}^{D0}$$

gdzie

$$/69/ \quad T_{lk}^{M0} = c^2 \int p_l^0 p_k^0 f_M^0 \frac{d^3 p^0}{\varepsilon^0} = \begin{vmatrix} P_M d_{\alpha\beta} & 0 \\ 0 & -E_M \end{vmatrix}$$

$$/70/ \quad T_{lk}^{D0} = c^2 \int p_l^0 p_k^0 f_D^0 \frac{d^3 p^0}{\varepsilon^0} = \begin{vmatrix} P_{\alpha\beta}^{D0} & \frac{1}{c} S_{\alpha}^0 \\ \frac{1}{c} S_{\beta}^0 & -E_D^0 \end{vmatrix}$$

Dla pełnego określenia tensora  $T_{lk}^{D0}$  pozostała jeszcze do znalezienia wielkość  $E^{D0}$ . Jak już wspominaliśmy, równanie transportu / IV, 9 / dla  $l = 4, k = 4$  nie wnosi nic nowego /jest liniowo zależne z równaniami transportu dla  $l = k = \alpha$  i z równaniem ciągłości / III, 14 / /. Gęstość energii można jednak określić wprost z definicji:

$$/71/ \quad E_D^0 = \int \varepsilon^0 f_D^0 d^3 p^0 = E^0 - E_M^0$$

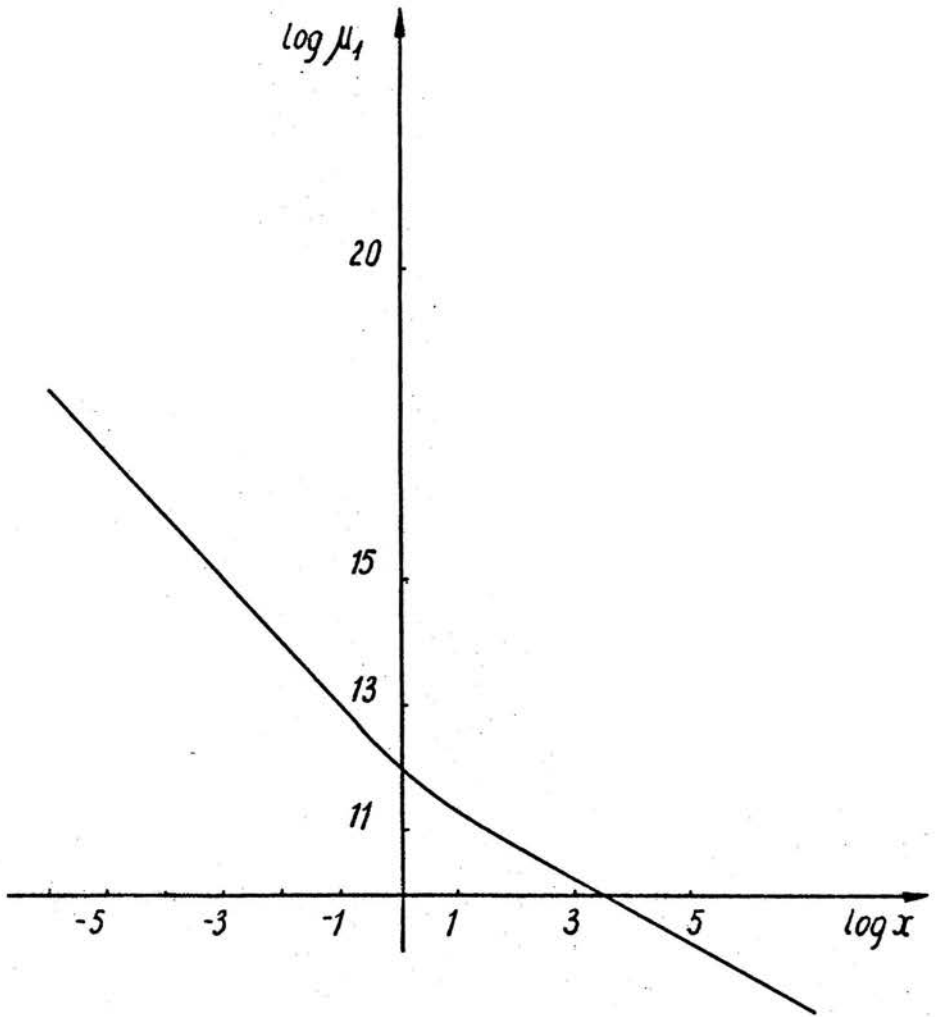
Staje się możliwe dzięki temu, że  $E^{D0}$  jest zupełnie określona, jeśli znane są  $S_{\alpha}^0$  i  $T_{\alpha\gamma}^0$ . Bez trudu znajdujemy

$$/72/ \quad E_D^0 = \lambda_A \frac{\partial q_{\lambda}^0}{\partial X_{\lambda}^0}$$

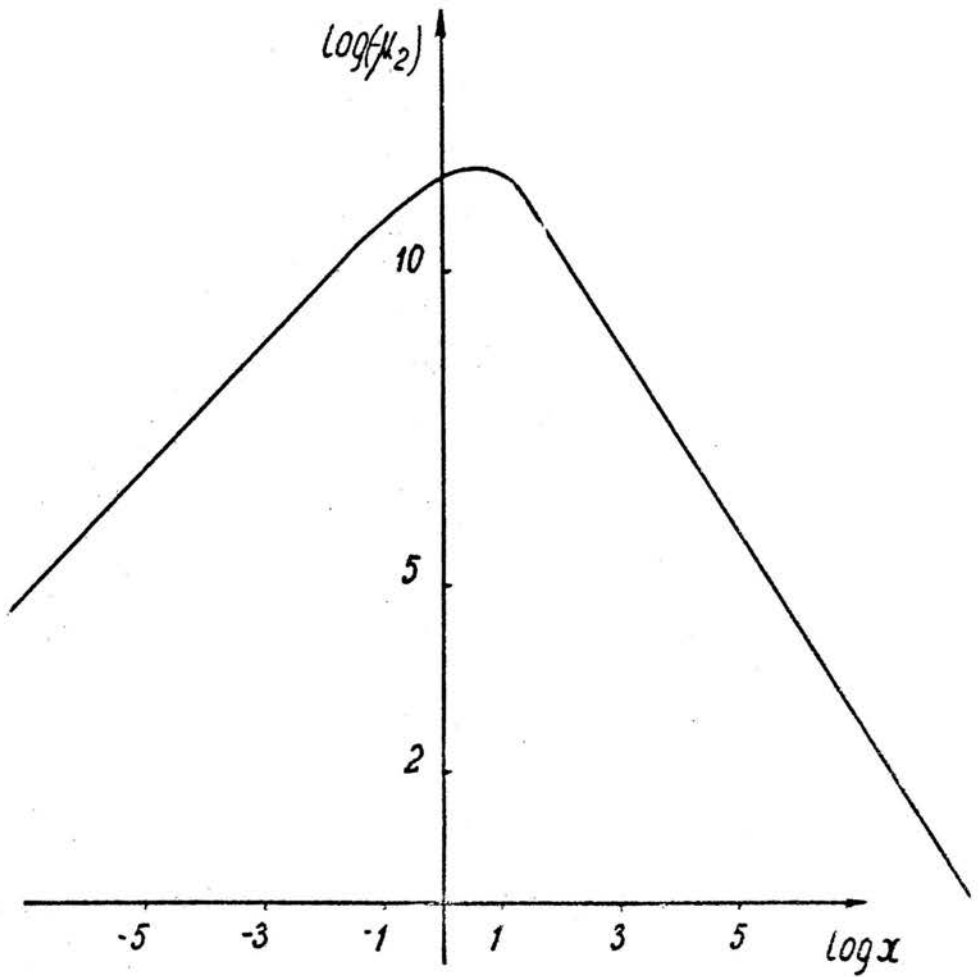
gdzie

$$/73/ \quad \lambda_A = -\frac{3}{5} \mu_2 X \left[ \frac{5}{X} + \frac{K_2}{K_3} \right]$$

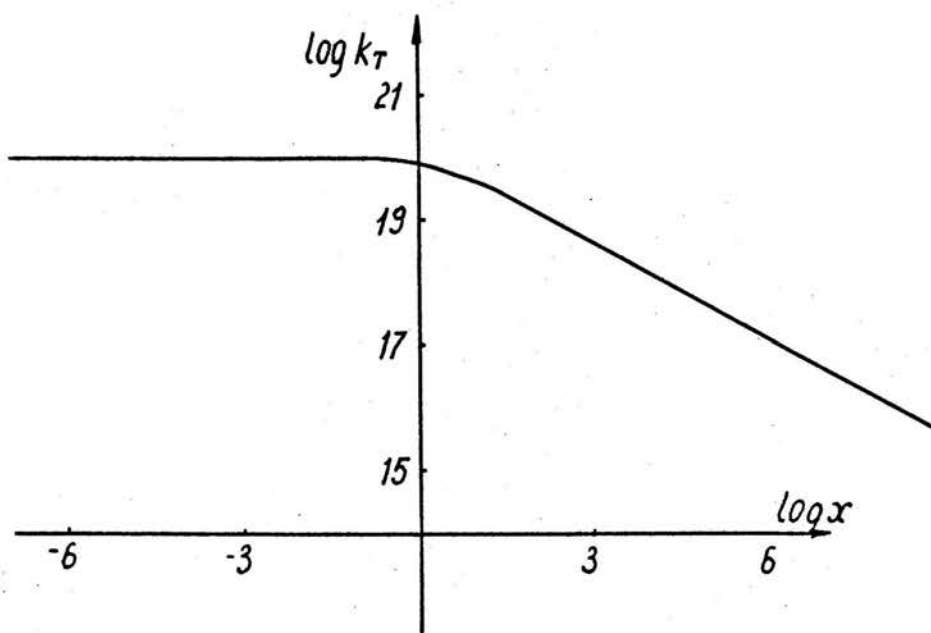
Tym samym, na mocy /68/, tensor energii-pędu w układzie własnym został w pełni efektywnie określony.



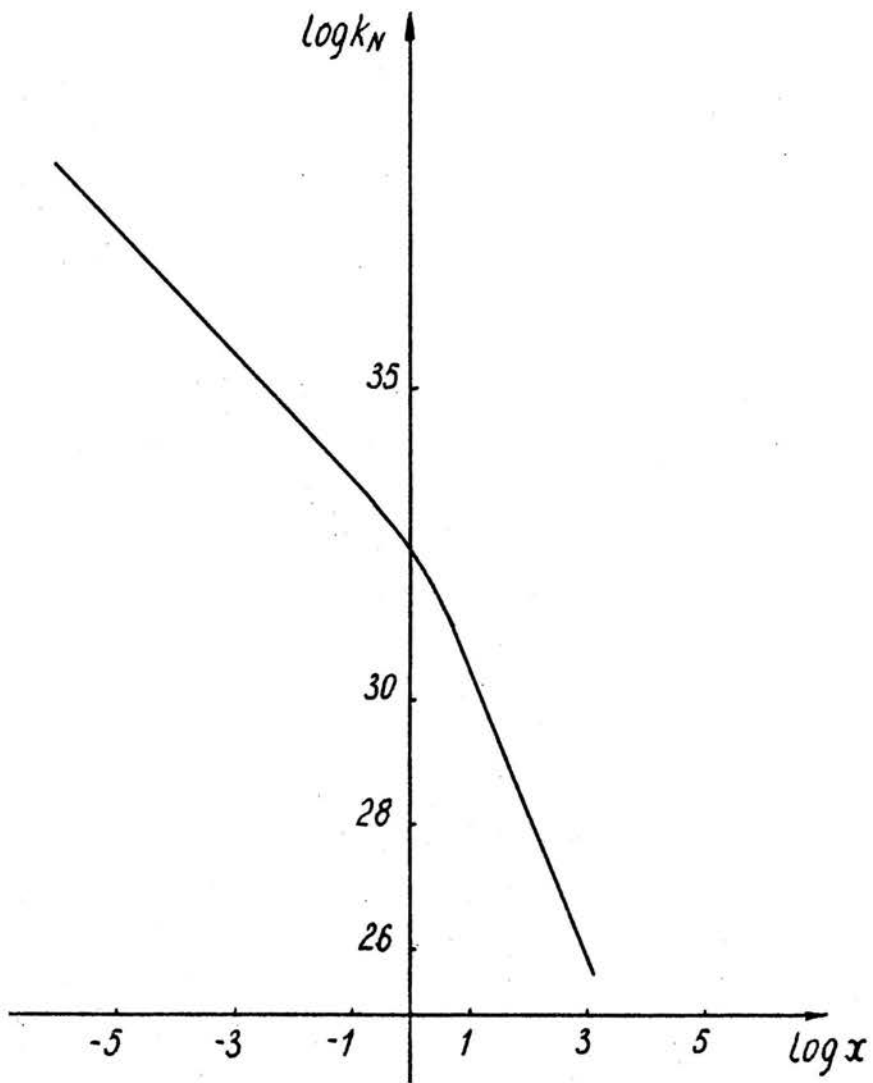
Rys. 1



Rys.2



Rys.3



Rys.4

Tabela I

x	$\mu_1$	$-\mu_2$	$k_n$	$k_c$
$10^{-10}$	$1.133255 \times 10^{22}$	$7.869823 \times 10$	$3.637579 \times 10^{42}$	$1.002220 \times 10^{20}$
$10^{-8}$	$1.133255 \times 10^{20}$	$7.869823 \times 10^3$	$3.637579 \times 10^{40}$	$1.002220 \times 10^{20}$
$10^{-6}$	$1.133255 \times 10^{18}$	$7.869823 \times 10^5$	$3.637579 \times 10^{38}$	$1.002220 \times 10^{20}$
$10^{-5}$	$1.133255 \times 10^{17}$	$7.869823 \times 10^6$	$3.637579 \times 10^{37}$	$1.002220 \times 10^{20}$
$10^{-4}$	$1.133254 \times 10^{16}$	$7.869820 \times 10^7$	$3.637578 \times 10^{36}$	$1.002220 \times 10^{20}$
$10^{-3}$	$1.133239 \times 10^{15}$	$7.869600 \times 10^8$	$3.637555 \times 10^{35}$	$1.002214 \times 10^{20}$
$10^{-2}$	$1.132263 \times 10^{14}$	$7.855664 \times 10^9$	$3.636068 \times 10^{34}$	$1.001820 \times 10^{20}$
$2 \times 10^{-2}$	$5.666185 \times 10^{13}$	$1.567854 \times 10^{10}$	$1.818491 \times 10^{34}$	$1.002122 \times 10^{20}$
$4 \times 10^{-2}$	$2.853360 \times 10^{13}$	$3.109851 \times 10^{10}$	$9.089280 \times 10^{33}$	$1.001972 \times 10^{20}$
$6 \times 10^{-2}$	$1.889306 \times 10^{13}$	$4.614012 \times 10^{10}$	$6.056343 \times 10^{33}$	$1.001778 \times 10^{20}$
$8 \times 10^{-2}$	$1.417000 \times 10^{13}$	$6.072057 \times 10^{10}$	$4.537676 \times 10^{33}$	$1.001228 \times 10^{20}$
$10^{-1}$	$1.133748 \times 10^{13}$	$7.481308 \times 10^{10}$	$3.625881 \times 10^{33}$	$1.000642 \times 10^{20}$
$2 \times 10^{-1}$	$5.677338 \times 10^{12}$	$1.377025 \times 10^{11}$	$1.796666 \times 10^{33}$	$9.963958 \times 10^{19}$
$3 \times 10^{-1}$	$3.793520 \times 10^{12}$	$1.888591 \times 10^{11}$	$1.180784 \times 10^{33}$	$9.896987 \times 10^{19}$
$4 \times 10^{-1}$	$2.853965 \times 10^{12}$	$2.304627 \times 10^{11}$	$8.692522 \times 10^{32}$	$9.811607 \times 10^{19}$
$6 \times 10^{-1}$	$1.917641 \times 10^{12}$	$2.928242 \times 10^{11}$	$5.524553 \times 10^{32}$	$9.597446 \times 10^{19}$
$8 \times 10^{-1}$	$1.452730 \times 10^{12}$	$3.369209 \times 10^{11}$	$3.912114 \times 10^{32}$	$9.351458 \times 10^{19}$
1	$1.175622 \times 10^{12}$	$3.699426 \times 10^{11}$	$2.936596 \times 10^{32}$	$9.089965 \times 10^{19}$
2	$6.283695 \times 10^{11}$	$4.532737 \times 10^{11}$	$1.040544 \times 10^{32}$	$7.840604 \times 10^{19}$
3	$4.485898 \times 10^{11}$	$4.583102 \times 10^{11}$	$5.045478 \times 10^{31}$	$6.892392 \times 10^{19}$
4	$3.587372 \times 10^{11}$	$4.941134 \times 10^{11}$	$2.869472 \times 10^{31}$	$6.187281 \times 10^{19}$
6	$2.675627 \times 10^{11}$	$4.400978 \times 10^{11}$	$1.231977 \times 10^{31}$	$5.271850 \times 10^{19}$
10	$1.908665 \times 10^{11}$	$3.604016 \times 10^{11}$	$3.990642 \times 10^{30}$	$4.276989 \times 10^{19}$
14	$1.552611 \times 10^{11}$	$2.709435 \times 10^{11}$	$1.258401 \times 10^{30}$	$3.733399 \times 10^{19}$
16	$1.434085 \times 10^{11}$	$2.561564 \times 10^{11}$	$1.423548 \times 10^{30}$	$3.682992 \times 10^{19}$
$10^2$	$5.312655 \times 10^{10}$	$2.155713 \times 10^{10}$	$1.761628 \times 10^{28}$	$1.619334 \times 10^{19}$
$10^3$	$1.656726 \times 10^{10}$	$6.816823 \times 10^8$	$5.570631 \times 10^{25}$	$5.119411 \times 10^{18}$
$10^4$	$5.231654 \times 10^9$	$2.155782 \times 10^7$	$1.762437 \times 10^{23}$	$1.619192 \times 10^{18}$
$10^6$	$5.230843 \times 10^8$	$2.155764 \times 10^4$	$1.762444 \times 10^{18}$	$1.619123 \times 10^{17}$
$10^8$	$5.230835 \times 10^7$	$2.155741 \times 10$	$1.762311 \times 10^{13}$	$1.619113 \times 10^{16}$
$10^{10}$	$5.230835 \times 10^6$	$2.155741 \times 10^{-2}$	$1.762311 \times 10^8$	$1.619113 \times 10^{15}$

## VI. Zachowanie asymptotyczne.

Wydaje się interesujące sprawdzić, czy jest zachowana korespondencja ogólnych rezultatów z rezultatami dla przypadków klasycznego i ultrarelatywistycznego. W tym celu zbadamy zachowanie asymptotyczne pewnych wyrażeń i równań, występujących w przedstawianej teorii.

### 1. Przejście do przypadku klasycznego.

W przypadku klasycznym mamy  $\chi \gg 1$ . Jednym z takich wyrażeń jest zaproponowana postać funkcji rozkładu  $f^0$  / IV, 3 /. Dla  $\chi \gg 1$  odpowiednie współczynniki w rozwinięciu, a więc  $a$ ,  $b$ ,  $g$ ,  $h$  powinny przejść klasycznie. Korzystamy ze znanej postaci asymptotycznego rozwinięcia funkcji Mac Donalda dla  $\chi \gg 1$  [22]:

$$/1/ \quad K_n(x) = \sqrt{\frac{\pi}{2x}} e^{-x} \left[ 1 + \frac{4n^2 - 1^2}{1! 8x} + \frac{(4n^2 - 1^2)(4n^2 - 3^2)}{2! (8x)^2} + \dots \right]$$

Można łatwo sprawdzić, że  $x'$ :

$$/2/ \quad \left[ \left(1 - \frac{32}{x^4}\right) K_1^2 - \left(\frac{2}{x} + \frac{32}{x^3}\right) K_0 K_1 - \left(1 + \frac{8}{x^2}\right) c \right] = -\frac{1}{x} \left(\sqrt{\frac{\pi}{2x}} e^{-x}\right)^2$$

Uwzględniając zachowanie się ostatniego wyrażenia i zanedbując małe wyższych rzędów dostajemy po prostych przeliczeniach:

$$/3/ \quad a_c = -\frac{1}{m_e R T p_n} \quad b_c = \frac{1}{5 m_e^3 R^2 T^2 p_n} \quad g_c = \frac{-1}{2 m_e^2 p_n R T} \quad h_c = -\frac{1}{5} g_c$$

gdzie:  $R = \frac{k}{m_0}$  - stała gazowa,  
co pokrywa się z wyrażeniami klasycznymi [21].

$\bar{x}$  Znaczek "c" przy wielkości przypomina, że jest to wartość graniczna wielkości w obszarze klasycznym.



Dokonyamy teraz granicznego przejścia z równaniem transportu / IV, 9 / na określenie tensora naprężeń lepkich  $\tau_{ij}^0$  i strumienia ciepła  $S_j^0$ .

A. Przypadek  $l = \gamma$ ,  $k = \gamma$

Lewa strona równania / IV, 9 /. Proste rachunki dają:

$$/4/ \quad T_{1c} = \frac{15}{2x^2} \left( \sqrt{\frac{\pi}{2x}} e^{-x} \right)^3 \quad T_{2c} = -\frac{3}{2x^2} \left( \sqrt{\frac{\pi}{2x}} e^{-x} \right)^2$$

Zaniedbując małe wyższych rzędów w równaniu / V, 9 / otrzymamy:

$$/5/ \quad \left[ \left[ p_r^0 p_s^0 p_m^0 \frac{\partial p_m^0}{\partial x_m} \frac{d^3 p_j^0}{\varepsilon^0} \right]_c = \frac{m^0 k N T}{c^2} \frac{\partial q_r^0}{\partial x_s} \right]$$

Zauważając, że w przypadku klasycznym:

$$\frac{\partial q_r^0}{\partial x_s} = \frac{\partial q_r}{\partial x_s}$$

możemy znów stwierdzić, że otrzymaliśmy rezultat klasyczny [21] /str.28, lewa strona pierwszego wzoru 12-10 przy  $\tau_{ij} = 0$ ,  $q_i = 0$  /

Prawa strona równania / IV, 9 /.

Mamy natychmiast:

$$/6/ \quad \alpha_{1c} = -576 \sqrt{\frac{\pi}{4x}} e^{-2x} \quad \beta_{1c} = 192 \sqrt{\frac{\pi}{4x}} e^{-2x}$$

Podstawienie tych wielkości w równaniu / V, 49 / z równoczesnym zaniedbaniem małych wyższych rzędów daje:

$$/7/ \quad \left[ \left[ p_r^0 p_s^0 \int dl f^0 \frac{d^3 p_j^0}{\varepsilon^0} \right]_c = -\frac{64}{15} \frac{\pi R^2}{c^2} \frac{1}{\sqrt{\pi R T}} (-3\tau_{ij} + \tau_{\mu\nu} \delta_{ij}) \right]$$

co pokrywa się z wynikiem klasycznym [21] /str.28, prawa strona pierwszego wzoru 12 - 10 przy  $\tau_{ii}^0 = 0$  /. Zachowaliśmy

tu dla formalności wyraz z  $T_{\mu\mu}^0$ . Okazuje się, że w rozpatrywanym przybliżeniu, które gwarantuje dokładnie przypadek klasyczny, ślad tensora naprężeń lepkich staje się nieokreślony. Mamy bowiem:

$$/8/ \quad \alpha_{Ac} + 3\beta_{Ac} = 0 \quad 5K_3(x)_c + \frac{T_{1c}}{T_{2c}} = 0$$

co w myśl / V, 63/ prowadzi do nieokreśloności śladu  $T_{\mu\mu}^0$  /klasycznie żąda się, by  $T_{\mu\mu}^0 = 0/$ .

Interesujące może się okazać znalezienie wyższych przybliżeń dla tensora naprężeń lepkich i jego śladu w obszarze klasycznym. Zachowując w wyrażeniach  $K_3(x)$ ,  $T_1$ ,  $T_2$ ,  $\beta$ ,  $\alpha$ , wyrazy o rząd wielkości mniejsze niż poprzednio otrzymamy:

$$/9/ \quad T_{xy}^0 = \frac{5}{64} \left(1 + \frac{401}{256x}\right) \frac{m_0}{\pi R_0^2} \sqrt{\pi R_0} \frac{\partial q_y^0}{\partial x_y^0}$$

$$/10/ \quad T_{\mu\mu}^0 = 0$$

Drugie przybliżenie w obszarze klasycznym przynosi więc ślad  $T_{\mu\mu}^0$  równy 0. Okazuje się, że dopiero w czwartym przybliżeniu ślad tensora naprężeń lepkich staje się niezerowy. Zachowując mianowicie, w rozwinięciach asymptotycznych funkcji Mac Donalda, wyrazy z dokładnością do  $1/x^4$  otrzymamy:

$$/11/ \quad 5K_3 T_2 + T_1 \approx \frac{14835}{(64x^2)^2} \left(\sqrt{\frac{\pi}{2x}} e^{-x}\right)^3$$

W pierwszym, drugim i trzecim przybliżeniu wyrażenie to było równe 0. Uwzględniając /11/ dostajemy natychmiast:

$$/12/ \quad \mu_2 = -\frac{4945 m_0 c}{1536 \pi R_0^2} \sqrt{\frac{\pi}{x}} \frac{1}{x}$$

Współczynnik drugiej lepkości w odniesieniu do współczynnika pierwszej lepkości dla  $\chi \gg 1$  maleje jak  $1/\chi$ . Tym samym, wyraz w tensorze naprężeń lepkich związany z drugą lepkością możemy w obszarze klasycznym pomijać.

B. Przypadek  $l = 4, k = j$ . Lewa strona równania / IV, 9 /. Można sprawdzić, że:

$$\frac{K_1}{K_2} = 1 - \frac{3}{2\chi} + \frac{15}{8\chi^2} - \frac{15}{8\chi^3} + \dots$$

$$\frac{K_3}{K_2} = 1 + \frac{5}{2\chi} + \frac{15}{8\chi^2} - \frac{15}{8\chi^3} + \dots$$

/13/

$$\frac{1 + \frac{5K_3}{\chi K_2}}{\frac{4}{\chi} + \frac{K_1}{K_2}} = 1 + \frac{5}{2\chi} + \frac{35}{8\chi^2} - \frac{35}{8\chi^3} + \dots$$

$$\frac{K_1^2}{K_2^2} = 1 - \frac{3}{\chi} + \frac{6}{\chi^2} - \frac{75}{8\chi^3} + \dots$$

$$\frac{\frac{5K_3K_1}{\chi K_2^2} + \frac{K_1}{K_2}}{\frac{4}{\chi} + \frac{K_1}{K_2}} = 1 + \frac{1}{\chi} + \frac{5}{2\chi^2} - \frac{65}{8\chi^3} + \dots$$

Jeśli w / V, 15 / zachować wyrazy z dokładnością do  $1/\chi^2$  otrzymamy 0. Zachowanie wyrazów z dokładnością o stopień wyższą daje:

/14/

$$\left[ \left[ P_i^0 P_j^0 P_m^0 \frac{\partial P_m^0}{\partial X_m^0} \frac{d^3 p_j^0}{\varepsilon^0} \right]_c = \frac{i}{c^3} \frac{5}{2} k P_m \frac{\partial \Pi}{\partial X_m} \right]$$

Wynik ten pokrywa się z klasycznym [21]/strona 28, lewa strona drugiego wzoru 12-10 przy  $\bar{\tau}_{ij} = 0, q_i = 0/$ .

Jeśli zachować wyrazy z jeszcze wyższą dokładnością, otrzymamy:

$$/15/ \quad \int P_i^0 P_j^0 P_m^0 \frac{\partial f_m^0}{\partial X_m^0} \frac{d^3 p^0}{\varepsilon^0} = -\frac{i}{c} \frac{m_0^2 c^2}{X^2} \frac{5N^0}{2X} \left[ \left(1 + \frac{1}{2X}\right) \frac{\partial X}{\partial X_3^0} + \frac{1}{N^0} \frac{\partial N^0}{\partial X_3^0} \right]$$

Prawa strona równania / IV, 9 /.

Na podstawie / V, 59 / mamy:

$$/16/ \quad Y_c = -\frac{192}{X^6} \sqrt{\frac{\pi}{4X}} e^{-2X}$$

Po wykorzystaniu /2/ równość / V, 60 / daje natychmiast:

$$/17/ \quad \left[ \int P_i^0 P_j^0 d_L \int \frac{d^3 p^0}{\varepsilon^0} \right]_c = -\frac{i}{c^3} \frac{128}{15} \pi R_0^2 P_m \frac{1}{\sqrt{\pi R T}} S_j^0$$

co potwierdza zbieżność z przypadkiem klasycznym [21] /strona 28, prawa strona drugiego wzoru 12-10/.

W wyższym przybliżeniu znajdujemy:

$$/18/ \quad Y \approx -\frac{6}{X^6} \left(16 + \frac{205}{X}\right) \sqrt{\frac{\pi}{X}} e^{-2X}$$

$$\left(1 + \frac{8}{X^2}\right) K_0^2 + \left(\frac{2}{X} + \frac{32}{X^3}\right) K_0 K_1 - \left(1 - \frac{32}{X^4}\right) K_1^2 \approx \left(\frac{1}{X} + \frac{31}{4X^2}\right) \left(\sqrt{\frac{\pi}{2X}} e^{-X}\right)^2$$

Związki te dają:

$$/19/ \quad \int P_i^0 P_j^0 d_L \int \frac{d^3 p^0}{\varepsilon^0} = -\frac{i}{c} \frac{8}{15} \frac{\pi R_0^2}{cX} m_0 N_m^0 \sqrt{\frac{X}{\pi}} \left(16 + \frac{81}{X}\right) S_j^0$$

Porównując /15/ i /19/ otrzymamy ostatecznie:

$$/20/ \quad S_j^0 = \frac{15}{4} \frac{c^2}{X^2} \mu \left[ \left(1 - \frac{73}{16X}\right) \frac{\partial X}{\partial X_3^0} + \frac{1}{N^0} \frac{\partial N^0}{\partial X_3^0} \right]$$

Okazuje się, że już w tym przybliżeniu strumień ciepła jest proporcjonalny do kombinacji gradientów temperatury i gęstości. Reasumując rezultaty zawarte w p.p. A i B możemy stwierdzić:

dzić, że równanie transportu / IV, 9 / na określenie tensora naprężeń lepkich i strumienia ciepła przechodzi w klasyczne. Tym samym przechodzą w klasyczne wyrażenia określające tensor naprężeń lepkich / V, 62 / i strumień ciepła / V, 65 /:

$$/21/ \quad \tau_{rs}^{oc} = \mu \frac{\partial q_s}{\partial x_r}$$

$$/22/ \quad S_j^{oc} = -\frac{15}{4} \mu R \frac{\partial T}{\partial x_j}$$

gdzie:

$$/23/ \quad \mu_c = \frac{5m_0 \sqrt{\pi R T}}{64 \pi R_0^2}$$

2. Przejście do przypadku ultrarelatywistycznego.

W obszarze ultrarelatywistycznym mamy  $\chi \ll 1$ . Przy przejściach granicznych korzystamy ze znanej postaci przedstawienia funkcji Mac Donalda dla  $\chi \ll 1$ :

$$/24/ \quad K_n(x) = \frac{1}{2} (n-1)! \left(\frac{2}{x}\right)^n + \dots \quad n > 0, \quad K_0(x) = -0.5772 - \ln \frac{x}{2} + \dots$$

Na współczynniki rozwinięcia funkcji  $f^o$  dostajemy:<sup>x/</sup>

$$/25/ \quad a_u = -\frac{1}{2k^2 T^{o2} N_M^o} \quad b_u = \frac{c^2}{40k^4 T^{o4} N_M^o} \quad g_u = -\frac{c^2}{8k^3 T^{o3} N_M^o} \quad h_u = -\frac{g_u}{5}$$

Zajmiemy się teraz asymptotycznym zachowaniem równania transportu / IV, 9 /

A.  $l = \gamma$ ,  $k = \gamma$ . Lewa strona równania / IV, 9 /

Bez trudu można sprawdzić, że:

---

<sup>x/</sup> Znaczek "u" przy wielkości przypomina, że jest to wartość wielkości w obszarze ultrarelatywistycznym.

$$/26/ \quad T_{1u} = \frac{480}{X^9} \quad T_{2u} = -\frac{12}{X^6} \quad \frac{T_{1u}}{T_{2u}} = -\frac{40}{X^3}$$

W takim razie w miejsce / V, 9 / otrzymamy:

$$/27/ \quad \left[ \int p_r^0 p_s^0 p_m^0 \frac{\partial f_m^0}{\partial X_m^0} \frac{d^3 p^0}{\varepsilon^0} \right]_u = \frac{4}{c^4} k^2 T^0 N_m^0 \frac{\partial q_r^0}{\partial X_s^0}$$

Prawa strona równania / IV, 9 /.

Zachowanie graniczne  $\alpha_{\lambda u}$ ,  $\beta_{\lambda u}$  jest następujące:

$$/28/ \quad \alpha_{\lambda u} = -\frac{9600}{X^5} \quad \beta_{\lambda u} = \frac{3072}{X^5}$$

Uwzględniając to w / V, 49 / dostaniemy natychmiast:

$$/29/ \quad \left[ \int p_r^0 p_s^0 \delta_l f^0 \frac{d^3 p^0}{\varepsilon^0} \right]_u = \frac{8}{15} \frac{\pi R_0^2 k T^0 N_m^0}{c^3} (25 T_{rs}^0 - 8 T_{\mu\mu}^0 \delta_{rs})$$

B.  $l=4$ ,  $k=9$ . Lewa strona równania / IV, 9 /

Proste rachunki prowadzą do:

$$/30/ \quad \int p_i^0 p_j^0 p_m^0 \frac{\partial f_m^0}{\partial X_m^0} \frac{d^3 p^0}{\varepsilon^0} = -\frac{i}{c} \frac{m_0^2 c^2}{X^3} \left[ 3 N_m^0 \frac{\partial X}{\partial X_j^0} + X \frac{\partial N_m^0}{\partial X_s^0} \right]$$

Prawa strona równania / IV, 9 /

Zaniedbując małe wyższych rzędów otrzymamy:

$$/31/ \quad Y_u = -\frac{6720}{X^{11}}$$

$$/32/ \quad \left[ \int p_i^0 p_j^0 \delta_l f^0 \frac{d^3 p^0}{\varepsilon^0} \right]_u = -\frac{i}{c} \frac{28}{3} \frac{\pi R_0^2 k T^0 N_m^0}{c^3} \int_s^0$$

Porównując /27/ i /29/ oraz dokonując zwięzienia dostajemy natychmiast:

$$/33/ \quad T_{rs}^{00} = \frac{3}{10} \frac{kT^0}{\pi R_0^2 c} \frac{\overline{\partial q_r^2}}{\partial x_s^2}$$

$$/34/ \quad T_{\mu\mu}^{00} = 0$$

Nietrudno sprawdzić, że w następnym przybliżeniu uzyskamy:

$$/35/ \quad \mu_2 = -\frac{5}{24} \frac{m_0 c}{\pi R_0^2} X$$

Podobnie z przyrównania /30/ i /32/ otrzymamy:

$$/36/ \quad S_j^{00} = \frac{3}{28} \frac{ckT^0}{\pi R_0^2} \left[ -\frac{3}{T^0} \frac{\partial T^0}{\partial x_j^2} + \frac{1}{N_M^0} \frac{\partial N_M^0}{\partial x_j^2} \right]$$

Warto podkreślić, że przypadek ultrarelatywistyczny liczony był oddzielnie inną metodą. Uzyskane wyniki są identyczne. Z jednej strony więc przypadek ogólny jest zbieżny do klasycznego, z drugiej do ultrarelatywistycznego. Tym samym jest to dobre potwierdzenie poprawności obliczeń. Przypadek ultrarelatywistyczny, ze względu na proste wyniki, jest szczególnie łatwy do interpretacji. Tensor naprężeń lepkich jest wprost proporcjonalny do temperatury, zaś strumień ciepła proporcjonalny do kombinacji gradientów temperatury i gęstości. Pewną osobliwością jest tutaj stałość współczynnika przewodnictwa cieplnego przy gradiencie temperatury, jak również fakt, że część strumienia ciepła związana z gradientem gęstości skierowana jest w kierunku rosnącej gęstości. Interesujący wydaje się również fakt zerowania się śladu tensora naprężeń lepkich. Wykresy zależności współczynników transportu  $\mu_1$ ,  $\mu_2$ ,  $k_T$ ,  $k_N$  od temperatury, sporządzone w oparciu o obliczenia numeryczne, potwierdzają znalezio-

ne powyżej zachowanie graniczne tych współczynników zarówno w obszarze klasycznym jak i ultrarelatywistycznym.

VII. Tensor energii-pędu w układzie laboratoryjnym. Szczególną prostotę wyników zawdzięczamy użyciu układu własnego. Ponieważ w równaniach gazodynamiki stoi explicite tensor energii-pędu w układzie obserwacji, musimy dokonać transformacji tensora  $T_{mn}^0$  do układu obserwacji. Dla prostoty rachunków tensor energii-pędu  $T_{lk}$  rozbijemy na część maxwellovską i dyssypacyjną:

$$/1/ \quad T_{lk} = T_{lk}^M + T_{lk}^D$$

gdzie

$$/2/ \quad T_{lk}^M = a_{lm} a_{kn} T_{mn}^{M0} = (p_M + \epsilon_M) u_l u_k + p_M \delta_{lk}$$

$$/3/ \quad T_{lk}^D = a_{lm} a_{kn} T_{mn}^{D0} = a_{l\alpha} a_{k\beta} T_{\alpha\beta}^{D0} + a_{l4} a_{k\beta} T_{4\beta}^{D0} + a_{l\alpha} a_{k4} T_{\alpha 4}^{D0} + a_{l4} a_{k4} T_{44}^{D0}$$

Z kolei  $T_{mn}^{D0}$  przedstawimy w postaci:

$$/4/ \quad T_{mn}^{D0} = \begin{vmatrix} P_{\alpha\beta}^{D0} & \frac{i}{c} S_{\alpha}^0 \\ \frac{i}{c} S_{\beta}^0 & -\epsilon^{D0} \end{vmatrix} = \begin{vmatrix} -T_{L\beta}^0 & 0 \\ 0 & 0 \end{vmatrix} + \begin{vmatrix} 0 & \frac{i}{c} S_{\alpha}^0 \\ \frac{i}{c} S_{\beta}^0 & 0 \end{vmatrix} + \begin{vmatrix} 0 & 0 \\ 0 & -\epsilon^{D0} \end{vmatrix}$$

Korzystając z /3/ i /4/ oraz z / V, 62 /, / V, 65 / i / V, 72 / możemy zapisać /  $T_{lk}^D$  / w prostej, przejrzystej fizycznie formie:

$$/5/ \quad T_{lk}^D = p_{lk}^D + \frac{1}{c} (u_l S_k + u_k S_l) + u_l u_k \epsilon^D$$



gdzie:

$$/6/ \quad p_{ik}^D = -\tau_{ik} = -c\mu_1 \left[ \frac{\partial u_k}{\partial x_i} + \frac{\partial u_i}{\partial x_k} + u_r \frac{\partial}{\partial x_r} (u_i u_k) - \frac{2}{3} \frac{\partial u_r}{\partial x_r} (\delta_{ik} + u_i u_k) \right] - c\mu_2 (\delta_{ik} + u_i u_k) \frac{\partial u_r}{\partial x_r}$$

$$/7/ \quad S_L = k_N (\delta_{lm} + u_l u_m) \frac{\partial A_\lambda}{\partial x_m} \quad A_\lambda = \ln A$$

$$/8/ \quad \epsilon^D = c\lambda_\lambda \frac{\partial u_r}{\partial x_r}$$

Tensorowy charakter tych wielkości jest oczywisty.

Ponieważ w układzie własnym:

$$/9/ \quad p_{mn}^{D_0} u_n^0 = p_{\alpha\beta}^{D_0} u_\beta^0 = -\tau_{\alpha\beta}^0 u_\beta^0 = 0$$

$$/10/ \quad S_i^0 u_i^0 = S_\alpha^0 u_\alpha^0 = 0$$

$$/11/ \quad p_{kk}^{D_0} = -\tau_{\alpha\alpha}^0 \neq 0$$

więc i w każdym innym układzie odniesienia zachodzą związki:

$$/12/ \quad p_{ik}^D u_k = -\tau_{ik} u_k = 0$$

$$/13/ \quad S_i u_i = 0$$

$$/14/ \quad p_{kk}^D = -\tau_{kk} \neq 0$$

Oznacza to, że tensory  $p_{ik}^D$  i  $S_i$  są ortogonalne do czasopodobnej czteroprędkości  $u_i$ , zaś ślad tensora napięć dyssypacyjnych jest niezerowy.

VIII. Porównanie z pracami innych autorów.

Szczególnie pożyteczne powinno się okazać porównanie z pracą Landaua. Praca Landaua zajmuje w teorii ośrodka relatywistycznego szczególną pozycję. Tę szczególność zawdzięcza oryginalnej definicji prędkości makroskopowej. Mianowicie - Landau określa ją tak, aby w układzie własnym znikał strumień energii /gęstość pędu/, a energia wyrażała się przez parametry termodynamiczne jak dla cieczy idealnej <sup>x/</sup>. Konsekwencją tego jest pewna modyfikacja równania ciągłości:

$$/1/ \quad \frac{\partial N_i}{\partial x_i} = 0 \quad N_i = N^0 u_i^L + v_i$$

Prawo /1/ wyraża zachowanie strumienia masy /łącznie z masą energii kinetycznej/,  $U_i^L$  - jest czteroprędkością makroskopową zdefiniowaną wg Landaua,  $v_i$  - czterowektorem związanym ze strumieniem ciepła. Landau znajduje tensor energii-pędu  $T_{ik}^L$  i czterowektor  $v_i$  z prawa wzrostu entropii. Okazuje się, że jeśli w naszych rezultatach położyć  $T_{ij}^0 = 0$ , to istnieje doskonała korespondencja między jego i naszymi rezultatami. Ponieważ u nas:

$$/2/ \quad N_i = N^0 u_i$$

mamy natychmiast relację między prędkością Landaua i naszą:

$$/3/ \quad U_i^L = U_i - \frac{v_i}{N^0}$$

Jeśli zachować poziom naszych rozważań ogólnych, tj. zaniedbać pochodne wyższych rzędów niż pierwszy, jak również potęgi pochodnych wyższe niż pierwsza, to dostaniemy:

<sup>x/</sup> W ramach naszej teorii żądanie odnośnie energii jest nie do spełnienia, gdyż  $\epsilon^{30} - T_{30}^0 \neq 0$

$$/4/ \quad \frac{\partial u_i^t}{\partial x_k} = \frac{\partial u_i}{\partial x_k}$$

$$/5/ \quad u_i^t u_k^t = u_i u_k - u_i \frac{v_k}{N^0} - \frac{v_i}{N^0} u_k$$

$$/6/ \quad T_{ik}^{ML} = (p_M + \epsilon_M) u_i u_k + p_M \delta_{ik} - (p_M + \epsilon_M) \left( u_i \frac{v_k}{N^0} + \frac{v_i}{N^0} u_k \right)$$

gdzie  $T_{ik}^{ML}$  oznacza tensor energii-pędu cieczy idealnej z prędkością wg Landaua. Jeśli wykorzystać /3/ do wyrażenia tensora energii-pędu  $T_{ik}^{DL}$  - tensora związanego z procesami dyssypacyjnymi wg Landaua [13], to możemy natychmiast stwierdzić równoważność tensorów energii-pędu Landaua i naszego. Pociąga to za sobą równoważność układów równań opisujących ruch ośrodka. Drobną różnicą tkwi w tym, że u Landaua występuje dodatkowy wyraz w tensorze energii-pędu  $-\int \frac{\partial u_r}{\partial x_r} \delta_{ik}$ . Jego obecność w tensorze Landaua związana jest z prostym faktem, że Landau w swych pół-fenomenologicznych rozważaniach dopuszcza dowolne ciecze rzeczywiste /a więc i z niezerowym drugim współczynnikiem lepkości/, podczas gdy nasze rozważania obejmują jedynie gazy jednoatomowe doskonałe<sup>x/</sup>. W porównaniu rezultatów Landaua i naszych można posunąć się jeszcze dalej. Można łatwo dowieść, że:

$$/7/ \quad \frac{\mu^L}{T} = k(1 + \ln A)$$

<sup>x/</sup> W rozważaniach dotyczących porównania przyjmujemy  $\tau_{ij}^0 = 0$ , a co za tym idzie  $N_p^0 = \epsilon_p^0 = 0$ . Landau przyjmuje bowiem, że w układzie własnym gęstość energii jest taka, jak cieczy idealnej, czyli  $\epsilon_p^0 = 0$ . Klasycznie dla gazu jednoatomowego doskonałego  $\tau_{ij}^0 = 0$ . Widocznie Landau przenosi tę własność śladu również na przypadek relatywistyczny.

gdzie  $\mu^k = \frac{W - T^0 \delta^0}{N^0}$  jest relatywistycznym potencjałem substancji,  
 $W = p_M + \epsilon_M$  entalpią jednostki objętości,  $C^0$  - entropią,  
co pociąga za sobą natychmiast

$$/8/ \quad \frac{\partial}{\partial X_k} \left( \frac{\mu^k}{T} \right) = \frac{\partial}{\partial X_k} A_A$$

Tym samym identyfikujemy  $v_i$  ze strumieniem ciepła  $S_i$ .  
Jeśli więc zaniedbać  $T_{ij}^0$ , to zbieżność rezultatów jest zupełna.  
Równoważność rezultatów pozwala tym samym w prosty sposób wyznaczyć nieokreślone współczynniki fenomenologiczne w równaniach Landaua.

Próby uzyskania tensora naprężeń lepkich w postaci Landaua na gruncie teorii kinetycznej podjęli w swej pracy G.M.Zasławski i S.S.Moisiejew [23]. Stosując metodę momentów Grada uzyskali tensor lepkości pokrywający się z tensorem Landaua z dokładnością do zaniedbywanego przez nich współczynnika drugiej lepkości. W innej pracy Zasławski [24] uzyskał również strumień ciepła w formie Landaua. Z innych prac na uwagę zasługuje praca Masłowej [16]. Autorka znalazła postać tensora energii-pędu dla ośrodka z procesami dyssypacyjnymi rozwijając metodę Enskog - Chapmana w formalizmie relatywistycznym; nie znajduje jednak efektywnie postaci dyssypacyjnej części funkcji rozkładu, pozostawiając tym samym nieokreślone współczynniki transportu. W pracach Zasławskiego i Moisiejewa parametry dyssypacyjne są określone z dokładnością do pewnej charakterystycznej, bliżej nieokreślonej funkcji  $\tilde{\tau}$ , grającej rolę charakterystycznego czasu zderzeń i reprezentującej człon zderzeniowy. Z dokładnością do charakterystycznego czasu zderzeń określili tensor energii-pędu również Marle [19], zastępując równanie Boltzmanna modelem B.G.K.<sup>x/</sup>. Jak widać żaden z autorów nie podejmuje

<sup>x/</sup> Skróty od nazwisk autorów: Bhatnager P.L., Gross E.P., Krook N. /Phys.Rev.94, 511, /1954/ /.

próby pełnego rozwiązania zagadnienia, która wiąże się nierozłącznie z trudnościami, jakie kryje w sobie prawa strona równania Boltzmann'a. Warto tutaj wspomnieć, że rezultaty Marle są ideowo najbliższe naszym rezultatom, w szczególności zaś rezultatowi niezerowego śladu tensora naprężeń lepkich. Przy porównaniu wyników naszej pracy z innymi narzuca się w sposób oczywisty problem dość dowolnej eliminacji pochodnych makrowielkości z równań cieczy idealnej, czyli zastępowania w tensorze energii-pędu gradientów jednych wielkości gradientami innych wielkości. Problem ten występował również w przypadku klasycznym. O ile jednak klasycznie tensor naprężeń lepkich  $\tau_{ij}$  dał się wyrazić tylko przez pochodne prędkości, zaś strumień ciepła tylko przez gradient temperatury, o tyle w przypadku relatywistycznym staje się to niemożliwe. W naszej pracy kierowaliśmy się analogią klasyczną, co niewątpliwie wpłynęło na fakt, że postać tensora energii-pędu w układzie własnym jest możliwie najbardziej zbliżona do postaci klasycznej; postać  $\tau_{ij}^0$  jest w swej formie identyczna, zaś  $S_j^0$  wyraża się poprzez gradient jednej wielkości termodynamicznej  $A$ , podczas, gdy klasycznie poprzez gradient temperatury.

#### Dyskusja

Na czoło rozważań wysuwa się problem niezerowego śladu  $\tau_{ij}^0 \neq 0$  i konsekwencje z tym związane. Fakt pojawienia się w układzie własnym niezerowego śladu  $\tau_{ij}^0$ , równoważny niezerowemu współczynnikowi drugiej lepkości, jest efektem czysto relatywistycznym<sup>x/</sup>. Klasycznie druga lepkość mogła wystąpić dla cieczy ściśliwych rzeczywistych /np. gazy gęste, gazy z wewnętrznymi stopniami swobody, ciecze, w których może zachodzić przebudowa quasi-struktury/. Podstawową konsekwencją niezerowego śladu jest to, że:

---

<sup>x/</sup> Fakt ten jest niezależny od modelu oddziaływań cząstek; za niezerowość śladu odpowiedzialna jest tylko lewa strona równania /IV,9/.

$$/9/ \quad N^{\circ} = N_M^{\circ} + N_D^{\circ} \quad \epsilon^{\circ} = \epsilon_M^{\circ} + \epsilon_D^{\circ}$$

gdzie:

$$/10/ \quad N_D^{\circ} = \frac{2}{\sqrt{5}} g \overline{(p^{\circ 2})} N_M^{\circ} \tau_{\omega}^{\circ} \quad \epsilon_D^{\circ} = \frac{2}{5} \frac{m_0^3 c^4}{X} g N_M^{\circ} \left(1 + \frac{5}{X} \frac{K_3}{K_2}\right) \tau_{\omega}^{\circ}$$

podczas gdy przy  $\tau_{\omega}^{\circ} = 0$ :  $N^{\circ} = N_M^{\circ}$ ,  $\epsilon^{\circ} = \epsilon_M^{\circ}$ .

Stan ośrodka opisany jest nadal przez pięć makroparametrów:

$N_M^{\circ}$ ,  $T^{\circ}$ ,  $\vec{q}$ , jednak równania gazodynamiki, w porównaniu ze znanymi ujęciami, modyfikują się w ten sposób, że w równaniu ciągłości pojawia się dodatkowy czterowektor prądu

$N_L^{\circ} = N_D^{\circ} u_L$ , a w równaniach zachowania tensora energii-pędu

dodatkowa gęstość energii  $\epsilon^{\circ}$  /obydwie dodatkowe wielkości są proporcjonalne do śladu  $\tau_{\omega}^{\circ}$  /.

Z obliczeń numerycznych wynika, że współczynnik drugiej lepkości jest w całym obszarze temperatur ujemny<sup>X/</sup>, posiada minimum i przyjmuje w jego otoczeniu wartości co do bezwzględnej wielkości rzędu współczynnika pierwszej lepkości, zaś w obszarze klasycznym i ultrarelatywistycznym przyjmuje wartości o rząd mniejsze od współczynnika pierwszej lepkości. Wynikiem zasługującym również na uwagę jest fakt, że w obszarze klasycznym pojawia się efekt Eckarta /strumień ciepła proporcjonalny do kombinacji gradientów temperatury i gęstości/, wartość jednak współczynnika przewodnictwa związanego z gradientem gęstości jest, w odniesieniu do wartości współczynnika przewodnictwa związanego z gradientem temperatury, do zaniedbania. Zauważmy jednak, że niezerowość śladu  $\tau_{\omega}^{\circ}$  i współczynnika  $k_N$  wynika dopiero z wyższych przybliżeń; jeśli ograniczyć się do przybliżenia gwarantującego dokładnie przypadek klasyczny, to otrzymamy ślad  $\tau_{\omega}^{\circ}$  nieokreślony, a współczynnik

X/-----

Jest to tym samym czynnik zmniejszający efekty dyssypacyjne.

$$k_N = 0.$$

Do ciekawszych rezultatów należałoby zaliczyć również prostą zależność współczynników transportu od temperatury w przypadku ultrarelatywistycznym. Przedstawiona metoda /którą możemy nazwać metodą czternastu momentów ze względu na brak postulatu Ensko a - Chapmana / pozwala w prosty sposób znajdować wyższe przybliżenia. I tak, kładąc po lewej stronie równania transportu  $f^0$  z określonymi z pierwszego przybliżenia  $\tau_{xy}^0$ ,  $\tau_{ij}^0$  i  $S_y^0$  uzyskamy poziom, odpowiadający w przypadku klasycznym równaniom Burnetta.

Trudno przewidzieć, czy sposób obliczenia prawej strony równania transportu można przenieść na dowolny model oddziaływania cząstek. Wydaje się raczej, że wybrany przez nas model oddziaływania cząstek należy do nielicznych, przy których jest możliwe analityczne rozwiązanie problemu w sposób precyzyjny od początku do końca. Z przykrością należy jednak stwierdzić, że nawet najprostszy model /jak nasz, w którym przyjęliśmy stałość różniczkowego przekroju czynnego/ przynosi w praktycznym liczeniu olbrzymie trudności rachunkowe.

Literatura

1. S.T. Belaev, G.U. Budker DAN SSSR, 107, 807, /1956/
2. N.A. Černikov DAN, 112, nr 6, 1030, /1957/
3. N.A. Černikov DAN, 114, nr 3, 530 /1957/
4. N.A. Černikov DAN, 133, nr 2, 333, /1960/
5. N.A. Černikov DAN, 133, nr 1, 84, /1960/
6. N.A. Černikov Naucnye Doklady Vyssej Skoly Fiziko-Matem. Nauki nr 1, 168, /1959/
7. S. Čepmen, T. Kauling Matematičeskaja teorija neodnorodnyh gazov, Moskva /1960/
8. C. Eckart Phys. Rev. 58 /1940/, 919
9. H. Grad Commun. on pure a appl. Mathem. 2, 331, /1949/
10. G.A. Kluitenberg, S.R. De Groot, P. Mazur Physica, Amsterdam, 19, /1953/, 689
11. G.A. Kluitenberg, S.R. De Groot. P.Mazur Physica, Amsterdam, 19, /1953/, 1079
12. G.A. Kluitenberg, S.R. De Groot Physica, Amsterdam, 20, /1954/, 199
13. L. Landau, E. Lifszic Mechanika ośrodków ciągłych, Warszawa, 1958
14. N.B. Maslova Vestnik L.G.U., nr 19, 1962
15. N.B. Maslova Vestnik L.G.U., nr 7, 1963
16. N.B. Maslova Vestnik L.G.U., nr 19, 1963
17. S.S. Moiseev Žurnal Eksper. i Teoret. Fiziki 37, 553, /1959/
18. W. Pauli Theory of Relativity, Pergamon Press, 1958
19. M.Ch. Marle Comptes rendus, 260, nr 25 /1965/, 6539
20. I.L. Synge The relativistic gas, Amsterdam, 1957
21. S.A. Schaaf, P.L. Chambre Flow of rarefied gases, Princeton, New Jersey, 1961
22. G.N. Watson A treatise on the theory of Bessel functions, Cambrigde, 1952
23. G.M. Zaslavskij, S.S. Moiseev Žurnal Techn.Fiz. XXXIII, nr 7, 1963
24. G.M. Zaslavskij Žurnal Techn.Fiz. XXXIII, nr 7, 1963.



### Summary

The effective determination of dissipative parameters of a relativistic gas in the frame of the kinetic theory

The relativistic invariant of Boltzmann equation was obtained by Černikov [2-6]. It was shown further that from this equation it is possible to derive a set of equations of relativistic gasdynamics [16, 23, 24]. However, the next step in this direction, namely the effective determination of dissipative parameters was not yet done in spite of the fact that this problem has been treated by several authors [16, 23, 24, 19]. This is probably due to the difficulties connected with the right hand side of the Boltzmann equation.

The main aim of the work was to obtain the formulas of the dissipative parameters assuming a simple model of particles interactions. It was assumed that the effective differential cross-section of particles interactions in the centre of mass system is constant.

We consider a homogenous, electrically neutral gas without creations and annihilations of particles. Starting from relativistic Boltzmann equation and using the method of moments we found the set of equations which corresponds to Navier-Stokes equations. An interesting result of the theory is that the trace of viscous-stress tensor is not identically zero. Further the asymptotic behaviour of transport coefficients were found, both for classical and ultrarelativistic regions.

In Chapter I the basic notations are introduced. The laws of the space-time coordinate transformations from one inertial system to another one are described by /1/. Using the invariant distribution function in the state of equilibrium [20] the following macroparameters are defined: numerical density  $N$ , velocity  $\vec{q}$ , energy-momentum tensor

$T_{lk}$ , and temperature  $T^0$  /formulae /2/, /3/, /4/ and /6/ /.

In Chapter II the known form of the relativistic Boltzmann equation and the corresponding basic properties of the collision term are given.

In Chapter III the set of relativistic gas dynamics equations /1-2/ together with the appropriate formulae in the system of reference for which the macrovelocity of gas element vanishes /rest-system/ /14-16/ are derived.

The method of the effective determination of energy-momentum tensor is described in Chapter IV. A method analogous to Grad method [9,21] is employed. The distribution function is developed in the series form /1/. For determining the energy-momentum tensor we start from the system /5/. Further we use the iterative method described by /6-7/. The first approximation is given by /9-10/.

To solve effectively the last system of equations we have to calculate the appropriate integrals in /IV,9/; this is done in the following Chapter V. After rather complicated calculations we got for the left hand side /for  $l, k=1, 2, 3$ / the formula /9/ and for  $l=4, k=1, 2, 3$  the formula /15/; the calculations for the right hand side of /IV,9/ are still more complicated. The calculations are performed on the pages 24-34; the final formulas are /49/ and /60/. Comparing the results of left and right hand sides we get finally the expressions for dissipative parameters /62-66/. The values of transport coefficients were numerically calculated and are shown graphically on pages 34-37 and in the table /page 38 /.

The asymptotic behaviour of the previous formulae are considered in Chapter VI first for classical region and then for the ultrarelativistic region. The results are in full agreement with those obtained by direct methods.

The transformations of the energy-momentum tensor to the laboratory coordinate system are given in Chapter VII.

Comparison with the results of other authors /first of all with the Landau results in Landau-Lifschitz, Mechanics of continuum media/ is given in Chapter VIII.

A short discussion of the results closes the paper.

### Spis treści.

Wstęp.....	str. 1
Rozdział I. Założenia i pojęcia podstawowe.....	str. 4
Rozdział II. Relatywistyczne równanie Boltzmanna ...	str. 7
Rozdział III. Układ równań gazodynamiki relatywist. str.	9
Rozdział IV. Metoda efektywnego określania tensora energii-pędu z uwzględnieniem procesów dyssypac.	str.12
Rozdział V. Tensor energii-pędu w układzie własnym	str.15
1. Określenie lewej strony /IV,9/	
a/ Przypadek $l = \mathcal{J}, k = \mathcal{J}$ .....	str.15
b/ Przypadek $l = 4, k = \mathcal{J}$ .....	str.18
2. Określenie prawej strony /IV,9/.....	str.19
a/ Przypadek $l = \mathcal{J}, k = \mathcal{J}$ .....	str.21
b/ Przypadek $l = 4, k = \mathcal{J}$ .....	str.29
Rozdział VI. Zachowanie asymptotyczne .....	str.39
1. Przejście do przypadku klasycznego .....	str.39
a/ Przypadek $l = \mathcal{J}, k = \mathcal{J}$ .....	str.40
b/ Przypadek $l = 4, k = \mathcal{J}$ .....	str.42
2. Przejście do przypadku ultrarelatywistyczn. str.	44
a/ Przypadek $l = \mathcal{J}, k = \mathcal{J}$ .....	str.44
b/ Przypadek $l = 4, k = \mathcal{J}$ .....	str.45
Rozdział VII. Tensor energii-pędu w układzie laborat.	str.47
Rozdział VIII. Porównanie z pracami innych autorów .	str.49
Dyskusja .....	str.52
Literatura .....	str.55
Summary .....	str.56